

UNIVERSITAT POLITÈCNICA DE CATALUNYA

MÀSTER:

AUTOMÀTICA I ROBÒTICA

TESI DE MÀSTER

DISEÑO E IMPLEMENTACIÓN DE UN SENSOR DE FUERZA DE 6 GRADOS DE LIBERTAD

JEAN CARLO SALAZAR CORTÉS

DIRECTORA: ALÍCIA CASALS GELPÍ

CURS ACADÈMIC 2010/2011

SETEMBRE 2011

PROJECTE DE FI DE MÀSTER

Autor: Jean Carlo Salazar Cortés

Directora: Alícia Casals Gelpí

Tribunal d'avaluació:

[NOM DEL PRESIDENT]

[NOM DEL VOCAL]

[NOM DEL SECRETARI]

Diseño e implementación de un sensor de fuerza de 6 grados de libertad

Jean Carlo Salazar Cortés
Departament d'Enginyeria de Sistemes
Automàtica i Informàtica Industrial
Universitat Politècnica de Catalunya
Barcelona

Septiembre de 2011

Abstract

El objetivo del presente proyecto final de máster es el diseño e implementación de un sensor de fuerza y par, capaz de medir los tres componentes de fuerza y los tres componentes de par, con alta velocidad de procesamiento de señales que permitan su implementación en tiempo real con conexión a la interfaz de usuario a través del protocolo USB, que posea la dimensión apropiada para poder ser montado entre la última articulación y el efector final de un robot manipulador.

Para lo cual se ha optado por una estructura en forma delta, con un anillo circular exterior y tres vigas radiales espaciadas un ángulo de 120° sujetas en el interior a una brida también circular. La estructura se ha mecanizado a partir de un bloque de aluminio, buscando que no existan uniones soldadas o sujetas con tornillos. En cada una de las vigas hay pegadas cuatro galgas extensiométricas que miden la flexión en dos direcciones ortogonales, son un total de 12 galgas extensiométricas fijadas a la estructura, una por cada cara, que se conectan a seis puentes de Wheatstone para transformar las variaciones resistivas en señales de voltaje.

El procesamiento de estas señales, se realiza utilizando un microcontrolador de 16-bits de la familia dsPIC30F de Microchip, luego de realizar el procedimiento de calibración, se pueden obtener las componentes de las fuerzas y pares que actúan sobre el sensor, esta información se transmite a la interfaz de usuario por medio del protocolo USB, que permite y facilita la integración a aplicaciones en tiempo real.

Para la validación final del diseño del sensor de fuerza se ha realizado una aplicación de control por fuerza de un robot manipulador SCARA. Con esta aplicación se evalúa el correcto funcionamiento del sensor en aspectos como su velocidad de respuesta y linealidad.

Índice general

1. Introducción y objetivos	11
1.1. Introducción	11
1.2. Motivación	12
1.3. Objetivos	13
1.3.1. Objetivo General	13
1.3.2. Objetivos Específicos	13
1.4. Metodología	13
2. Estado del arte	15
2.1. Tipos de sensores de fuerza/par	15
2.2. Sensores de Galgas extensiométricas	17
2.2.1. Estructura de los sensores de fuerza	18
2.3. Formulación matemática del sensor de fuerzas y par	25
2.4. Calibración	26
2.5. Conversión de la medida	27
3. Desarrollo del sensor	29
3.1. Estructura del sensor	29
3.2. Matriz de calibración	32
3.3. Tarjeta de adquisición de datos	33
3.4. Programación	37
4. Análisis de los resultados obtenidos	39
5. Conclusiones y trabajos futuros	45
6. Bibliografía	47
7. Anexos	51
7.1. Anexo I. Código fuente programa principal	51
7.2. Anexo II. Código fuente Interfaz de Control	65

Índice de figuras

1.1.	Desarrollo de un sensor de fuerza para un torno paralelo.	12
1.2.	Sensor de fuerza utilizado para realizar rehabilitación de la movilidad de la mano, a) Análisis de elementos finitos de la estructura, b) aplicación final.	12
2.1.	Ejemplo de sensor óptico.	16
2.2.	Esquema de un sensor inductivo.	16
2.3.	Esquema de un sensor capacitivo.	16
2.4.	Galga extensiométrica	17
2.5.	a) Doble viga de flexión, b) vigas paralelas.	19
2.6.	a) Estructura de viga en voladizo, b) estructura cruciforme.	19
2.7.	Sensor de tipo muñeca.	20
2.8.	Elemento en forma de cruz de Malta.	20
2.9.	Elemento elástico en forma de cruz de Malta con soporte flexible. . .	21
2.10.	Elementos finitos de la estructura cruz de Malta.	21
2.11.	a) Elemento cruz de Malta conectado con un paralelogramo; b) elemento elástico de doble cruz de Malta.	22
2.12.	Estructura de sensor de seis componentes con células de carga.	22
2.13.	Elementos finitos de estructura Stewart.	23
2.14.	Estructura con soportes en forma de T.	23
2.15.	Estructura de sensor tipo delta.	24
2.16.	Ubicación de las galgas en el soporte y puente de Wheatstone.	27
2.17.	Configuración de puente completo con compensación de temperatura. .	28
3.1.	Diagrama de funcionamiento del sensor.	29
3.2.	Estructura del sensor de fuerza utilizada.	30
3.3.	Dimensiones del transductor de fuerza/par desarrollado.	30
3.4.	a) Torsión y b) flexión de una viga.	31
3.5.	Diagrama conceptual del sistema.	34
3.6.	Esquemático de la tarjeta de adquisición de datos.	35
3.7.	Circuito impreso de la tarjeta de adquisición de datos.	36
3.8.	Resultado final del sensor de fuerza/par.	36
3.9.	Diagrama de bloques rutina de ajuste del cero del sensor.	37
3.10.	Diagrama de bloques bucle infinito de medición de los puentes.	38
4.1.	Valor promedio de las muestras tomadas para la calibración, aplicando fuerzas puras positivas en cada eje coordenado.	39

4.2. Valor promedio de las muestras tomadas para la calibración, aplicando fuerzas puras negativas en cada eje coordenado.	40
4.3. Robot SCARA de Yamaha.	40
4.4. Interfaz del programa de control por fuerza del robot SCARA.	41
4.5. Cálculo de comando de posición para el robot.	41
4.6. Diagrama de bloques de funcionamiento del programa de la Interfaz. .	42

Índice de tablas

1.1. Cronograma de actividades.	14
2.1. Resumen de características de las estructuras más comunes.	24
2.2. Procedimiento de toma de datos para la calibración del sensor.	26
4.1. Tiempo de ejecución de tareas.	43

Capítulo 1

Introducción y objetivos

1.1. Introducción

Teniendo en cuenta que un robot manipulador realiza tareas donde interactúa con el medio y los objetos de su entorno, se hace necesario en la mayoría de los casos conocer o estimar las variables físicas del espacio de trabajo, así pues, en estos casos la adquisición y uso de la información del medio donde el robot opera es de alta importancia para la realización de la tarea [14][36]. Por ejemplo, para la realización de una tarea particular puede ser necesario saber la temperatura o humedad del ambiente o del objeto manipulado, o la posición, velocidad o aceleración de los objetos, o también la fuerza o par que se ejerce sobre un objeto determinado o que ejerce el entorno sobre el robot.

La información de las variables del entorno, robot u objetos, generalmente es obtenida usando sensores específicos para la variable que se desea medir. Este proyecto se centra en las variables de fuerza y par, que pueden ser ejercidas por un robot manipulador sobre un objeto o viceversa, para lo cual se utilizan sensores del tipo galgas extensiométricas. Estos sensores van pegados a un elemento deformable elásticamente, el cual bajo la acción de la fuerza que se desea medir sufre deformaciones junto con la galga, lo que ocasiona un cambio en la resistencia eléctrica del sensor.

Como ejemplo de sus múltiples aplicaciones en la Figura 1.1 se muestra la aplicación final del desarrollo de un sensor de fuerza para un torno paralelo para medir las fuerzas y los pares de la herramienta [29].

También se puede encontrar su utilización en la rehabilitación de la movilidad de extremidades, como por ejemplo la movilidad de una mano. En la Figura 1.2 se muestra su implementación para la rehabilitación de la mano de un paciente que ha sufrido un accidente cerebro vascular [18].

La memoria del proyecto está organizada de la siguiente manera: en el capítulo 1 se muestra la introducción, los objetivos, justificación y metodología desarrollados en el proyecto; en el capítulo 2 se presenta un estado del arte de los sensores de fuerza, como los tipos de sensores de fuerza, el principio de funcionamiento, las geometrías utilizadas en el diseño del sensor, y la formulación matemática, sustentado en una amplia revisión bibliográfica. En el capítulo 3 se explica el diseño del prototipo del sensor desarrollado, y en el capítulo 4 se presenta el análisis de los resultados

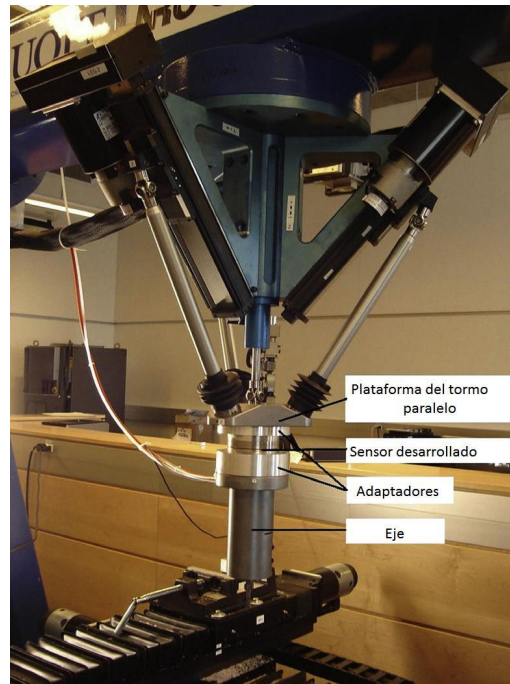


Figura 1.1: Desarrollo de un sensor de fuerza para un torno paralelo.

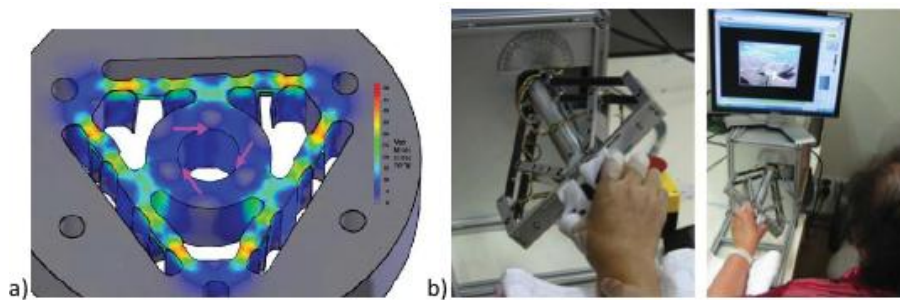


Figura 1.2: Sensor de fuerza utilizado para realizar rehabilitación de la movilidad de la mano, a) Análisis de elementos finitos de la estructura, b) aplicación final.

obtenidos y por último en el capítulo 5 se presentan las conclusiones y trabajos futuros del proyecto.

1.2. Motivación

El grupo de investigación GRINS de la UPC trabaja principalmente en la realización de prototipos robóticos innovadores, sobre todo en el campo de la biomedicina, con aplicaciones como por ejemplo robots para laparoscopia o cirugía asistida entre otras. En muchas de estas aplicaciones se necesita saber la magnitud de la fuerza que se ejerce con el robot por ejemplo sobre los tejidos del paciente, o limitar los movimientos que realiza un cirujano para proteger los órganos del paciente de un posible error, o también puede ser necesario conocer la fuerza que debe soportar una prótesis cuando el paciente la usa, etc.

Teniendo en cuenta que estas aplicaciones requieren de alta velocidad de respuesta por ser sistemas en tiempo real y que el coste de implementación se debe mantener bajo, se ve la necesidad de desarrollar un dispositivo sensor que cumpla con dichas características, y para tal fin se plantea la elaboración de este proyecto de fin de máster.

1.3. Objetivos

1.3.1. Objetivo General

El objetivo de esta tesis de máster es:

- Desarrollar un sensor de fuerza de seis grados de libertad para su integración al elemento terminal de un robot para aplicaciones que necesiten una estrategia de control basado en la fuerza aplicada.

1.3.2. Objetivos Específicos

- Diseñar el hardware para el acondicionamiento y adquisición de las señales del sensor de fuerzas.
- Efectuar un estudio de las diferentes estructuras elásticas utilizadas para sensores de fuerza.
- Efectuar el análisis matemático de la estructura elegida, para realizar la calibración del sensor.
- Diseñar el programa de adquisición de señales del sensor, procurando la mayor precisión y sensibilidad de las mediciones.
- Diseñar la interfaz de control para el robot, manteniendo un buen nivel de usabilidad para el usuario final.
- Verificar el funcionamiento del sensor en una aplicación de control en tiempo real, integrando un robot como elemento a controlar.
- Redactar un informe técnico sobre el proyecto.

1.4. Metodología

Para cumplir satisfactoriamente con los objetivos trazados, el presente proyecto se ha dividido en 6 fases: 1) análisis de requerimientos del sensor, 2) revisión bibliográfica, 3) diseño del sistema, 4) implementación del sistema, 5) conclusiones y trabajos futuros y 6) publicación de resultados.

1. Análisis de requisitos: analizar las características que debe cumplir el prototipo de sensor a diseñar. Este punto constituye el planteamiento del problema.

2. Revisión bibliográfica: como primer paso y para caracterizar el tema de investigación se lleva a cabo una amplia recolección y revisión documental, realizando una búsqueda de artículos referentes al problema planteado en bases de datos reconocidas por su impacto científico en el ámbito de la ingeniería como el IEEE Xplore, ScienceDirect, ISI Web of Knowledge, por supuesto se ha utilizado valiosa información de libros de autores y editoriales especializados en el tema.
3. Diseño del sistema: teniendo claras las características deseadas se procede al diseño del sistema del sensor. Este punto constituye la formulación de la hipótesis.
4. Implementación del sistema: es el siguiente paso luego de haber diseñado el sistema del sensor, se procede entonces a la elaboración de un prototipo de sensor.
5. Conclusiones y trabajos futuros: se contrarrestan los objetivos planteados con los resultados obtenidos y se proponen futuras líneas de trabajo.
6. Publicación de resultados: redactar un reporte técnico mostrando los resultados obtenidos.

En la Tabla 1.1 se puede observar el cronograma de actividades que se ha seguido para llevar a término el proyecto planteado.

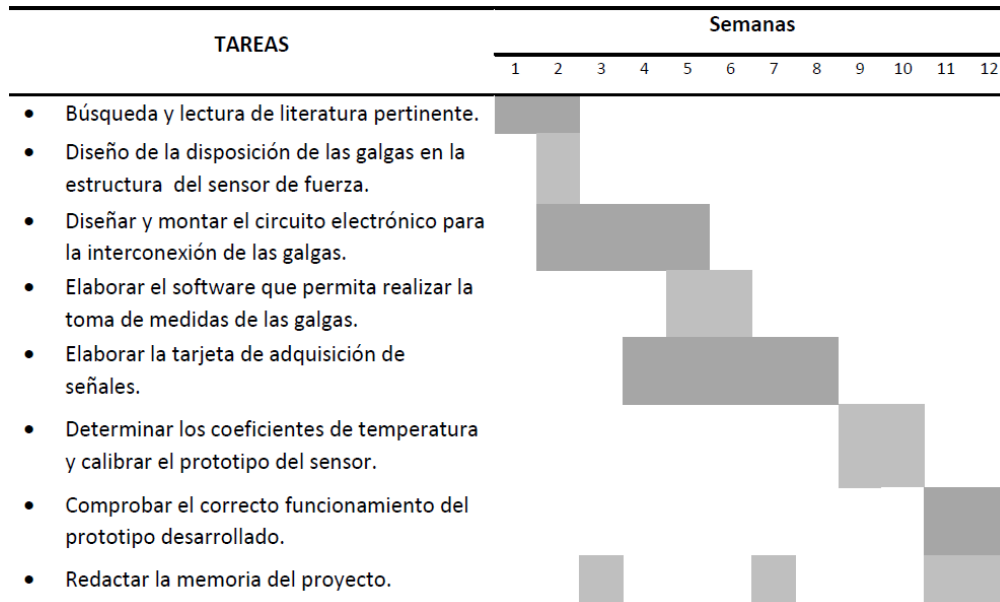


Tabla 1.1: Cronograma de actividades.

Capítulo 2

Estado del arte

En esta sección se presenta el estado del arte de los temas relacionados con el desarrollo de esta tesis de máster. Este estado del arte estudia la teoría de los sensores de fuerza, enfocándose básicamente en los que usan transductores de galgas extensiométricas. En primer lugar se describen los tipos de sensores de fuerza/par existentes, y a continuación se presenta una revisión de la teoría de sensores de galgas extensiométricas, su estructura, y su formulación matemática.

2.1. Tipos de sensores de fuerza/par

Algunos tipos de transductores de fuerza se basan en el mismo principio, la medición de una deflexión causada por una fuerza en un material, pero se diferencian en el sensor que se utiliza para transformar esta deflexión en señal eléctrica.

De acuerdo al sensor que se utilice para transformar la deflexión provocada por la aplicación de una fuerza o par, se pueden encontrar diferentes tipos de transductores de fuerza, algunos de los más utilizados son:

Ópticos: utilizan un haz de luz proyectado sobre un sensor fotoeléctrico sensible a este haz, según ocurra una deflexión, el haz de luz se moverá respecto al punto donde se proyectaba anteriormente, la deflexión y el posterior desplazamiento del haz de luz dan una indicación de la magnitud de la fuerza que los ha causado [3][11][43]. En la Figura 2.1 se presenta un ejemplo de un sensor óptico [43], se aprecia el detalle del emisor de luz pegado a un extremo de la viga y el foto sensor pegado al otro extremo, tal que una flexión de la viga hace mover el haz de luz proyectado sobre el foto sensor.

Inductivos: el desplazamiento causado por la deflexión puede relacionarse con el cambio en el flujo electromagnético cuando se mide la inductividad mutua de dos bobinas que, o tienen un núcleo móvil o se desplazan relativamente una de otra (Figura 2.2).

Capacitivos: en este tipo de sensores lo que se busca es la variación de la distancia entre las placas de un condensador de acuerdo a la fuerza que actúa sobre él, teniendo en cuenta que la capacitancia viene dada por la siguiente expresión:

$$C = \epsilon_0 \epsilon_r \frac{A}{h} \quad (2.1)$$

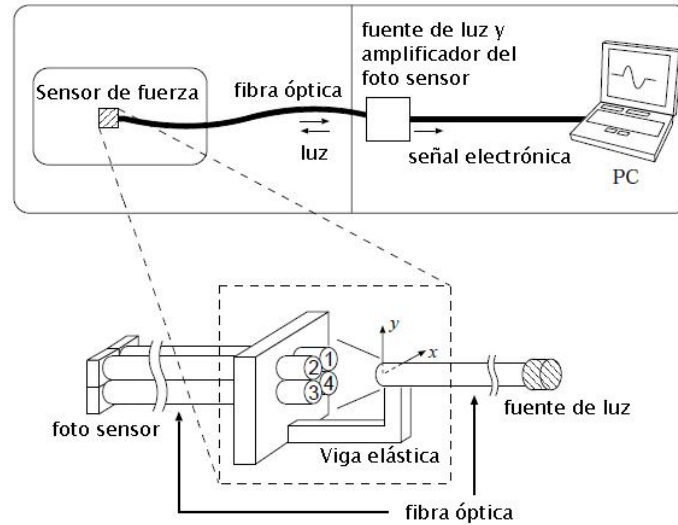


Figura 2.1: Ejemplo de sensor óptico.

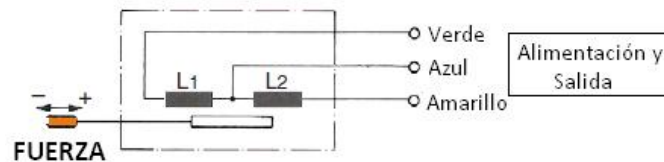


Figura 2.2: Esquema de un sensor inductivo.

Donde A representa el área de las placas, h es la distancia entre las placas y ϵ_0 es la permitividad al vacío y ϵ_r la permisividad relativa del dieléctrico. Por consiguiente, un cambio en cualquiera de los parámetros produce un cambio en la capacitancia, así la capacitancia del sensor cambia conforme cambia la distancia entre las placas a causa de la fuerza ejercida sobre él, una representación de este tipo de sensor se puede ver en la Figura 2.3 [2][42].

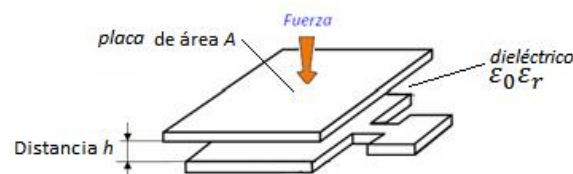


Figura 2.3: Esquema de un sensor capacitivo.

Galgas extensiométricas: con este tipo de sensores lo que se procura es poder establecer una relación entre la fuerza a medir y la resistencia eléctrica de la galga para deducir la magnitud de la fuerza aplicada [4].

Dadas las características de cada sensor anteriormente estudiadas, se puede ver que los sensores ópticos poseen alta sensibilidad en la medición, tienen baja dependencia de la temperatura [41][16], además que la electrónica de acondicionamiento de las señales se hace más compleja y aumenta su coste [4][10].

Las galgas extensiométricas presentan la ventaja de tener alta fiabilidad, al no requerir mayor mantenimiento, y para acondicionar sus señales sólo hace falta conectarlas a puentes de Wheatstone, lo que supone un menor coste. Pero, por el contrario, presentan susceptibilidad frente a cambios de temperatura, lo que incide negativamente en la calidad de la medición [10], para controlar esta desventaja hay que tener en cuenta el implementar un mecanismo que compense este efecto [24].

Teniendo en cuenta estas características, el sensor que mejor se adapta a las necesidades y especificaciones de este proyecto es el sensor de galgas extensiométricas. En las subsiguientes secciones y capítulos se ampliará más el estudio referente a este tipo de sensores.

2.2. Sensores de Galgas extensiométricas

Éste tipo de sensores de fuerza emplean galgas extensiométricas ligadas a la tensión de un elemento deformable elásticamente, las galgas extensiométricas son dispositivos que varían su resistencia eléctrica de acuerdo a la elongación o compresión que sufren, así pues, la flexión/tensión del elemento deformable elásticamente bajo la acción de una fuerza, se traduce en una variación de la resistencia eléctrica de la galga, se puede entonces establecer una relación entre la fuerza aplicada sobre el sensor y la resistencia de la galga.

Un sensor básicamente está compuesto por: el elemento sensor en este caso las galgas extensiométricas y un cuerpo elástico al que van pegadas las galgas y que se deforma elásticamente. Además también de la plataforma electrónica que hace el acondicionamiento de la señal y la procesa para calcular los componentes de fuerza y par.

Una galga extensiométrica es un arreglo en forma de bobina plana de un alambre conductor (Figura 2.4) cuya resistencia eléctrica viene dada por su longitud, su forma y su coeficiente de resistividad [4].

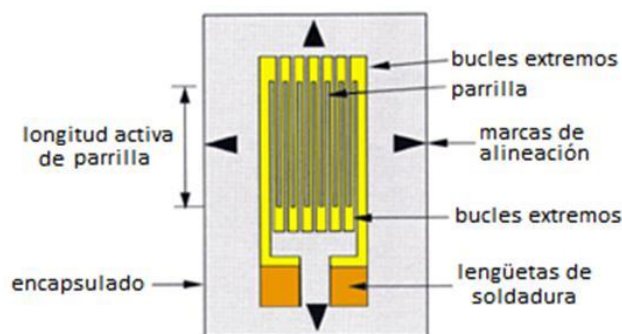


Figura 2.4: Galga extensiométrica

Tienen la propiedad de cambiar su resistencia eléctrica cuando están bajo el efecto de una acción de tensión, flexión o compresión, debido a que se está modificando la forma y la longitud del alambre conductor. Esto se explica de la siguiente manera, la resistencia de un alambre conductor de longitud l y área transversal A viene dada

por la siguiente expresión:

$$R = \rho \frac{l}{A} \quad (2.2)$$

Donde ρ es el coeficiente de resistividad del material. Al ocurrir un cambio en la resistividad del conducto, se tiene que:

$$\frac{dR}{R} = \frac{d\rho}{\rho} + \frac{d\frac{l}{A}}{\frac{l}{A}} \quad (2.3)$$

Donde, el primer término del lado derecho depende del cambio de la resistividad del conductor, y el segundo término representa la deformación y se conoce como coeficiente de Poisson. Esto quiere decir que el cambio en la resistencia viene de un cambio de la forma y un cambio de la resistividad del material. Así pues, una galga extensiométrica varía su resistencia de acuerdo a la siguiente expresión:

$$\frac{\delta R}{R} = GF \cdot \varepsilon \quad (2.4)$$

Donde la constante GF se conoce como factor de galga o sensibilidad de la galga, y ε es la tensión o esfuerzo sufrido por la galga.

Aprovechando la propiedad de la variación resistiva de la galga extensiométrica debido a la deformación sufrida, se puede establecer una relación entre estas dos para cuantificar la magnitud de la fuerza aplicada sobre la galga teniendo en cuenta que ésta deformación no puede llevar a la galga fuera de su margen elástico para evitar no linealidades y la rotura de la misma.

2.2.1. Estructura de los sensores de fuerza

En los sensores de fuerza se entiende como estructura la parte que sirve para transmitir la deformación sufrida por acción de las fuerzas o pares a los elementos sensores, también llamado en la literatura como cuerpo elástico. El cuerpo elástico debe estar hecho de un material con un coeficiente de elasticidad elevado y con poca histéresis, que le permita regresar a su estado original después de sufrir deformaciones, éste material suele ser generalmente aluminio o acero, aunque también hay prototipos realizados en acrílico [43] con las desventajas que esto puede suponer ya que el acrílico se comporta de manera elástica para un rango muy limitado, y puede llegar a sufrir deformaciones permanentes si se sobrepasa dicho margen. Para explicar la estructura de un sensor se puede partir de una viga elástica [1]. A partir de este elemento se pueden crear geometrías más elaboradas para por ejemplo tener más precisión o para incrementar los grados de libertad de la medición. Tenemos entonces por ejemplo, la estructura de viga de doble flexión (Figura 2.5.a), en la cual las galgas (1) van montadas en extremos opuestos de la viga (2). Este tipo de estructuras más simple es generalmente utilizado en las balanzas electrónicas, debido a que su deformación por fuerzas axiales es mucho más pequeño que a un momento flector.

La estructura de vigas paralelas (Figura 2.5.b) consiste en dos vigas elásticas paralelas (1) conectadas a dos elementos rígidos (2). Las galgas (3) están pegadas a la base de la viga para medir la flexión producida por la fuerza F [14].

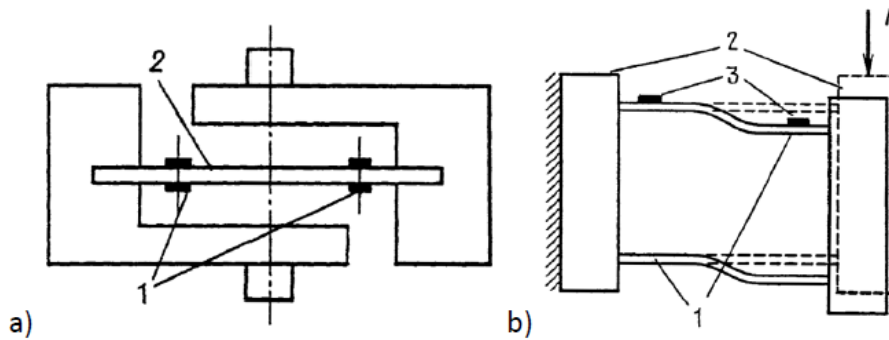


Figura 2.5: a) Doble viga de flexión, b) vigas paralelas.

Consideremos ahora los elementos usados para medir pares. Una manera simple de medir el par a través de la deformación de una viga en voladizo sometida a torsión (Figura 2.6.a). Para medir la torsión, las galgas deben estar pegadas a la viga formando un ángulo de 45° . Sin embargo esta configuración no asegura selectividad mecánica para el par medido M . En consecuencia, la influencia sobre la medición de acoplamientos de componentes no medidos puede ser significativa.

Un sensor de par cruciforme hueco se muestra en la Figura 2.6.b. es una variación del de la Figura 2.5.b. El sensor tiene dos bridas circulares (1) conectadas por cuatro vigas elásticas (2). Las vigas están espaciadas 90° una respecto de la otra a la misma distancia del eje del sensor. Las galgas (3) están pegadas en el medio del lado lateral más ancho de las vigas, cerca de las bridas superior e inferior. Cada viga se dobla tangencialmente y gira debido al par axial M [14].

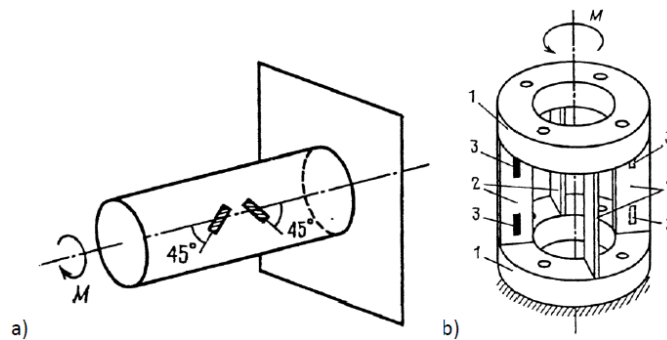


Figura 2.6: a) Estructura de viga en voladizo, b) estructura cruciforme.

Formando combinaciones con las estructuras como las vistas en la anteriormente se pueden conseguir estructuras de sensor que sirven para medir tanto fuerzas como pares.

Es de notar que las mediciones del sensor de fuerza no pueden ser usadas directamente en los algoritmos de control del robot, ya que éste describe las fuerzas equivalentes que actúan sobre el sensor las cuales difieren de las fuerzas aplicadas al efector final del manipulador. Es necesario entonces transformar estas fuerzas del sistema de referencia s del sensor al sistema de referencia c de las restricciones del efector final [36] como se observa en la Figura 2.7.

Hasta ahora se habían visto elementos elásticos básicos que solo responden a

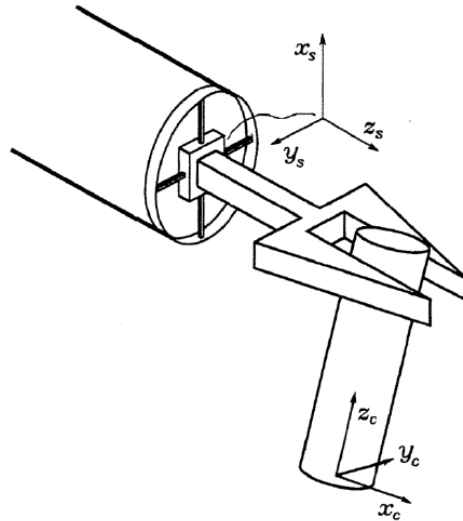


Figura 2.7: Sensor de tipo muñeca.

un único componente de fuerza o par. Un enfoque diferente para lograr sensores de múltiples componentes (grados de libertad) es el uso de elementos elásticos que respondan a varios componentes de fuerza y par simultáneamente. Por ejemplo un sensor que mida dos componentes, podría ser tan sencillo como dos vigas elásticas conectadas en el ángulo adecuado.

Una de las estructuras elásticas más comunes y ampliamente usadas para un sensor de tres componentes es la cruz de Malta visto en la Figura 2.8. Está compuesto por dos bridas, una interior (1) y otra exterior (2), conectados por cuatro vigas elásticas (3). Cuatro pares de galgas (4) pegadas a las superficies opuestas de la viga se conectan formando cuatro medios puentes. El sensor mide la fuerza axial F_z y los dos momentos laterales M_x y M_y que actúan en el plano del sensor. Los componentes de fuerza laterales F_x y F_y aplicados al centro del sensor causan deformaciones de compresión-tensión en las vigas pero el sensor no responde a estos componentes.

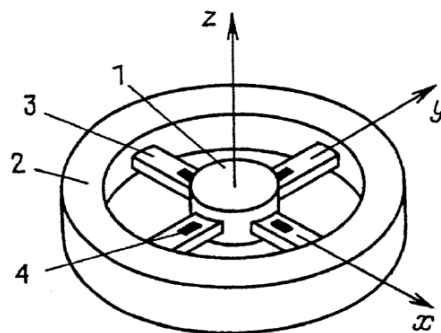


Figura 2.8: Elemento en forma de cruz de Malta.

Si las vigas son bastante delgadas, entonces la salida del sensor puede no ser lineal para cargas grandes, ya que puede sobrepasar el límite elástico del material. En los sensores de este tipo si las vigas están pegadas a las bridas por ejemplo con tornillos en lugar de maquinarse como un único elemento, tienden a presentar una

histéresis alta, ocasionada por pequeños desajustes en la estructura [14].

Un diseño más sofisticado de la cruz de Malta, para medir seis componentes de fuerza/par se muestra en la Figura 2.9. Está mecanizado a partir de una pieza monolítica de metal. Los extremos de las vigas (1) están soportados por placas delgadas (2) separadas de la brida exterior por franjas (3). Las galgas extensiométricas (4) están pegadas en medio de la superficie de la viga y cerca de la brida interior van conectadas formando ocho puentes. El brazo del manipulador va montado en la brida exterior y el efector final va montado en la brida interior [15][26][27][37].

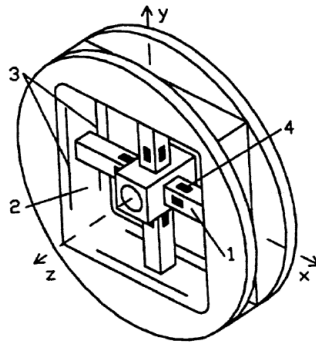


Figura 2.9: Elemento elástico en forma de cruz de Malta con soporte flexible.

En la Figura 2.10 se muestra el análisis de elementos finitos realizado a esta estructura, en la cual se puede apreciar de forma exagerada el efecto de deformación que presenta bajo la aplicación de un par en el eje z [29].

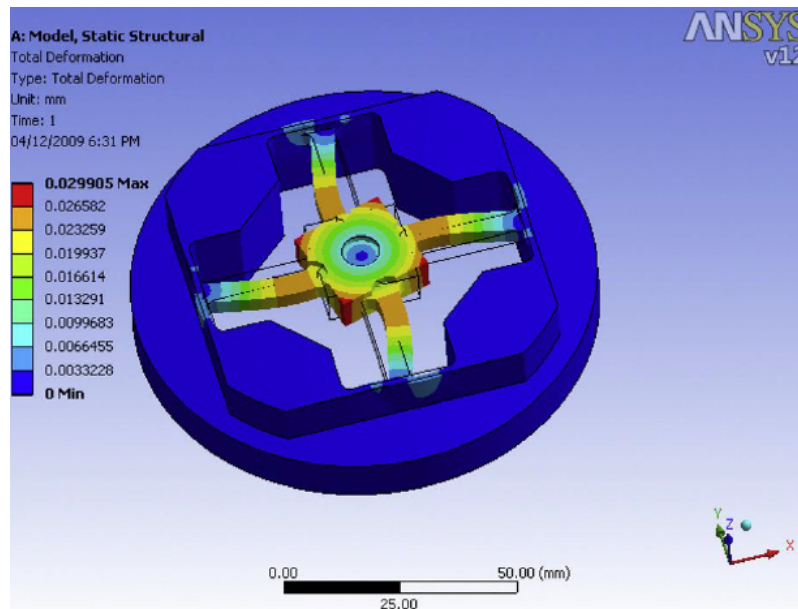


Figura 2.10: Elementos finitos de la estructura cruz de Malta.

Esta estructura de sensor es uno de los diseños más conocidos en términos de precisión, linealidad, y rango de medida. Debido a estas características, una variación de este tipo de estructura es el utilizado en este proyecto para el diseño del sensor, el diseño en lugar de tener cuatro vigas tiene tres, esto además disminuye los

costes de maquinado y de galgas para instrumentar las vigas, pero puede acarrear acoplamiento en algunos de los componentes de fuerza o par.

En la Figura 2.11 se muestran dos estructuras hechas con base a la cruz de Malta. En la Figura 2.11.a los elementos del sensor están mecanizados como una sola unidad, el anillo (1) está conectado por cuatro vigas radiales (2) al centro (3). El centro a su vez está conectado con un anillo (5) a través de cuatro vigas de soporte (4), y las galgas (6) están cableadas formando ocho puentes.

La Figura 2.11.b muestra una estructura con dos cruces de Malta, donde las vigas están unidas a dos bridas (1) y (2), y el centro (3). Las galgas (4) están pegadas a la superficie superior e inferior de cada viga y conectadas formando siete puentes [14].

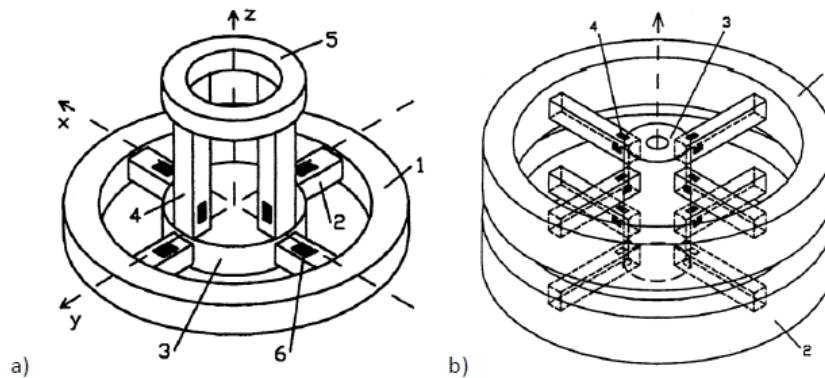


Figura 2.11: a) Elemento cruz de Malta conectado con un paralelogramo; b) elemento elástico de doble cruz de Malta.

También se pueden convertir las fuerzas y pares aplicados utilizando células de carga. Tal diseño de sensor se muestra en la Figura 2.12; posee dos bridas (1, 2) que están conectadas a través de seis células de carga (3, 4) colocados en ángulo con respecto al eje del sensor.

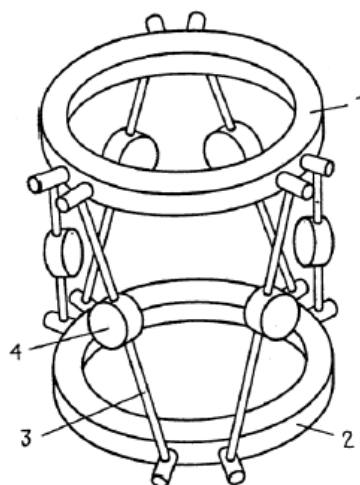


Figura 2.12: Estructura de sensor de seis componentes con células de carga.

Ejemplos de aplicaciones que usan esta estructura se pueden encontrar en [13]

[21] [30]. En la Figura 2.13 se presenta el análisis de elementos finitos nuevamente realizados en ANSYS a una estructura del tipo de plataforma de Stewart modificada, lo que permite simular el comportamiento que va a tener dicha estructura bajo los efectos de la aplicación de fuerzas o pares [30].

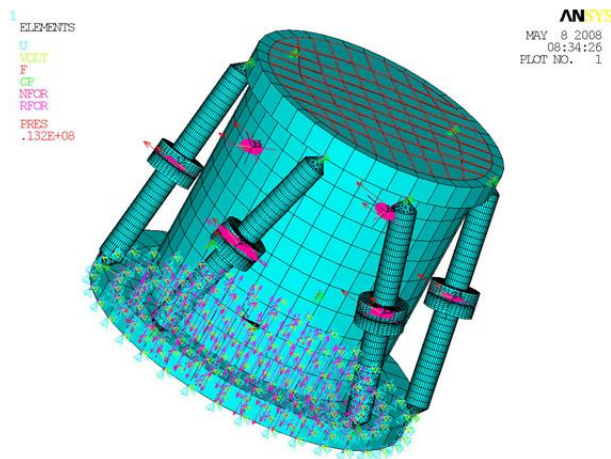


Figura 2.13: Elementos finitos de estructura Stewart.

En la Figura 2.14 se aprecia una estructura que parte de la utilización de soportes en forma de T que están bajo el efecto de una fuerza en el eje z . Está instrumentada con 20 galgas extensiométricas que sirven para calcular los seis grados de libertad. Los autores realizaron un análisis de elementos finitos para optimizar el diseño y el tamaño óptimo de los soportes que componen la estructura. Sin embargo, se encontraron con que esta estructura presenta un alto acoplamiento entre los seis componentes de fuerza del sensor [31].

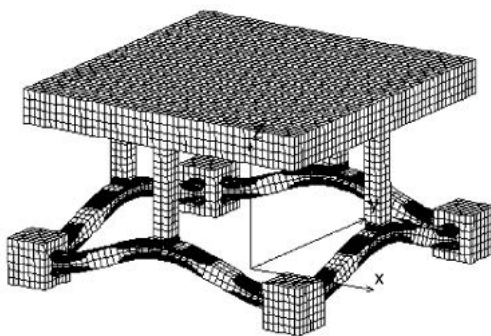


Figura 2.14: Estructura con soportes en forma de T.

En la Figura 2.15 se muestra una estructura que es una variación de una estructura en forma delta. Va instrumentada con 2 galgas extensiométricas por cada viga, en total cuenta con 6 galgas para medir los seis componentes de fuerza y par [32]. Se aprecia el detalle de la instrumentación de la viga, que va unida al anillo mediante un pin, lo que se ha identificado según los autores como un punto débil y que causa un fallo en la medición al no transmitir correctamente a las galgas las fuerzas aplicadas a la estructura del sensor.

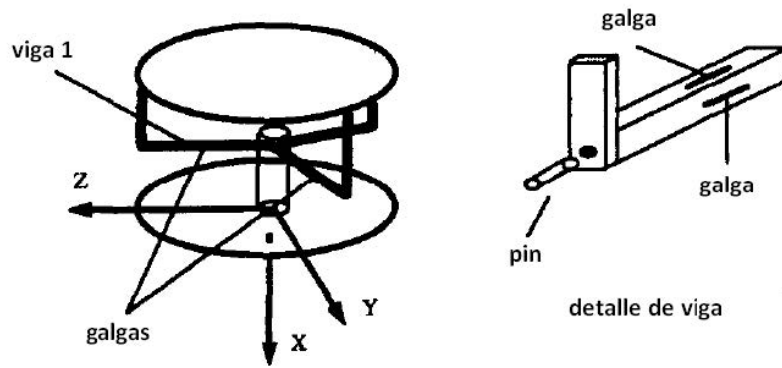


Figura 2.15: Estructura de sensor tipo delta.

En la Tabla 2.1 se presenta un resumen de las características más relevantes de las estructuras de los sensores de fuerza estudiados con anterioridad. Se puede notar una relación proporcional entre la cantidad de grados de libertad, la cantidad de galgas necesarias para conseguirlos y la complejidad de construcción del diseño. Por ejemplo, para obtener un sensor con seis grados de libertad, la estructura más ampliamente utilizada es la de Cruz de Malta [14] y mínimo 8 galgas, generalmente se utilizan 16 galgas [5] para obtener mayor sensibilidad, lo que incrementa el coste de diseño y construcción, respecto a si se utilizara una estructura de tipo delta con 12 galgas.

Tabla 2.1: Resumen de características de las estructuras más comunes.

Tipo	Cantidad de grados de libertad	Cantidad de Galgas	Complejidad de construcción
Doble viga de flexión (Figura 2.5a)	1 f_x	2	Baja
Vigas paralelas (Figura 2.5.b)	1 f_x	2	Baja
Viga en voladizo (Figura 2.6a)	1 M_z	2	Baja
Cruciforme (Figura 2.6b)	1 M_z	4	Media
Cruz de Malta (Figura 2.8)	3 f_x, f_y, f_z	4	Media
Cruz de Malta (Figura 2.9)	6 f_x, f_y, f_z M_x, M_y, M_z	8	Media
Cruz de Malta con Paralelogramo (Figura 2.11a)	6 f_x, f_y, f_z M_x, M_y, M_z	8	Alta
Doble cruz de Malta (Figura 2.11b)	6 f_x, f_y, f_z M_x, M_y, M_z	16	Alta
Plataforma Stewart (Figura 2.12)	6 f_x, f_y, f_z M_x, M_y, M_z	6	Alta
Viga en forma de T (Figura 2.14)	6 f_x, f_y, f_z M_x, M_y, M_z	20	Alta
Delta (Figura 2.15)	6 f_x, f_y, f_z M_x, M_y, M_z	6	Media

El criterio para decidir qué tipo de estructura se ha de utilizar en el diseño y elaboración de un sensor de fuerzas viene dado por la cantidad de grados de libertad que se necesite medir y también, el lograr un balance entre complejidad (coste) y sensibilidad del sensor.

2.3. Formulación matemática del sensor de fuerzas y par

En general, un sensor de fuerzas de galgas extensiométricas, se vale del comportamiento lineal de estructuras hechas generalmente de aleaciones de metal, para transformar los desplazamientos causados por la aplicación de fuerza/pares, en señales eléctricas medibles.

Considerando una estructura a la que se le aplica en un punto particular un vector de fuerza desconocido $\vec{F}^T = F_x, F_y, F_z, M_x, M_y, M_z$, que se mantiene en su rango lineal de elasticidad; además, si dicha estructura se instrumenta con un conjunto de galgas extensiométricas ubicadas en su superficie, se puede formar un vector de las mediciones de las galgas llamado $\vec{S}_s^T = S_1, S_2, S_3, \dots, S_n$ provocadas por la fuerza \vec{F} .

De acuerdo al principio de superposición y a que la estructura se comporta en el rango elástico del material, se produce la siguiente relación lineal entre los vectores \vec{F} y \vec{S} [38]:

$$\vec{S}_s = [A] \cdot \vec{F} \quad (2.5)$$

Donde $[A]$ es la matriz de acomodación con dimensión $n \times 6$. Esta matriz relaciona las mediciones de las galgas con los componentes de la fuerza \vec{F} que provocan dichas mediciones.

Luego, para encontrar el valor de la fuerza desconocida es necesario hacer un procedimiento de inversión:

$$\vec{F} = [A]^{-1} \cdot \vec{S}_s = [C] \cdot \vec{S}_s \quad (2.6)$$

Donde $[C] = [A]^{-1}$ es conocida como la matriz de calibración, que representa una matriz que directamente se multiplica al vector de tensiones para obtener el vector de fuerza \vec{F} que debe ser medido. Cuando \vec{S}_s contiene más de seis elementos resultando $[C]$ en una matriz no cuadrada, no se puede entonces hacer la inversión directa, por lo cual se debe emplear la técnica de Moore-Penrose [7] para hacer la inversión de la matriz y así determinar \vec{F} :

$$\vec{F} = [C] \cdot \vec{S}_s = ([A]^T \cdot [A])^{-1} \cdot [A]^T \cdot \vec{S}_s \quad (2.7)$$

La matriz $[C]$ puede ser obtenida analíticamente usando un método de análisis de la estructura (geometría) o experimentalmente usando un método de calibración, mediante la aplicación de una fuerza pura individualmente por cada componente y luego la organización de las tensiones obtenidas [38]. Dado que los componentes del vector de fuerzas \vec{F} son fuerzas y pares, los valores de las tres primeras columnas de la matriz $[C]$ y las tres últimas son las tensiones inducidas por unidad de fuerza y por

unidad de par respectivamente. Éste procedimiento se repite para cada componente que el transductor debe medir.

2.4. Calibración

Como se describió anteriormente, el proceso de calibración es un proceso experimental, en el que se aplican fuerzas puras a cada uno de los componentes que tiene el sensor. La matriz de calibración se puede construir mediante la aplicación de un número suficiente de fuerzas conocidas $\{Y\}$ y midiendo las correspondientes tensiones $\{X\}$, como se muestra en la Tabla 2.3 [6]. A continuación se describirá el proceso de calibración para un sensor de 6 grados de libertad y n galgas extensiométricas.

Tabla 2.2: Procedimiento de toma de datos para la calibración del sensor.

Etapa	Aplicado	Medido
1	$y_{11}y_{21}y_{31} \cdots y_{61}$	$x_{11}x_{21}x_{31} \cdots x_{n1}$
2	$y_{12}y_{22}y_{32} \cdots y_{62}$	$x_{12}x_{22}x_{32} \cdots x_{n2}$
3	$y_{13}y_{23}y_{33} \cdots y_{63}$	$x_{13}x_{23}x_{33} \cdots x_{n3}$
\vdots	\vdots	\vdots
p	$y_{1p}y_{2p}y_{3p} \cdots y_{6p}$	$x_{1p}x_{2p}x_{3p} \cdots x_{np}$
\cdots	$Y_{(p \times 6)}$	$X_{(n \times p)}$

Se obtiene una cantidad suficiente de muestras p , que para un sensor de seis grados de libertad p tendría que ser igual o mayor a 6, en forma general p debe ser igual o mayor a la cantidad de grados de libertad que tenga el sensor.

En analogía con la ecuación 2.7 $\vec{F} = [C] \cdot \vec{S}_s$, se tiene que:

$$\begin{bmatrix} y_{11} & y_{12} & \cdots & y_{1p} \\ y_{21} & y_{22} & \cdots & y_{2p} \\ \vdots & \vdots & \ddots & \vdots \\ y_{61} & y_{62} & \cdots & y_{6p} \end{bmatrix}_{(6 \times p)} = \begin{bmatrix} c_{11} & c_{12} & \cdots & c_{1n} \\ c_{21} & c_{22} & \cdots & c_{2n} \\ \vdots & \vdots & \ddots & \vdots \\ c_{61} & c_{62} & \cdots & c_{6n} \end{bmatrix}_{(6 \times n)} \times \begin{bmatrix} x_{11} & x_{12} & \cdots & x_{1p} \\ x_{21} & x_{22} & \cdots & x_{2p} \\ \vdots & \vdots & \ddots & \vdots \\ x_{61} & x_{62} & \cdots & x_{6p} \end{bmatrix}_{(n \times p)}$$

O lo que es lo mismo:

$$[Y]^T = [C] \cdot [X]^T \quad (2.8)$$

Transponiendo queda:

$$[Y] = [X] \cdot [C]^T$$

Multiplicando a ambos lados de la igualdad por $[X]^T$ obtenemos:

$$[X]^T \cdot [X] \cdot [C]^T = [X]^T \cdot [Y]$$

Y despejando $[C]$:

$$[C]^T = [([X]^T \cdot [X])^{-1} \cdot [X]^T \cdot [Y]] \quad (2.9)$$

Donde $[C]$ se denomina matriz de calibración. Éste método, debido a que es simple de implementar y a que ofrece buenos resultados es el más utilizado para hacer la calibración de los sensores de fuerza y par, según lo encontrado en la siguiente bibliografía [5][6][7][20][22][31][32][33][34][35][38][42]. Para lograr una medición fiable se han de tomar precauciones en la instrumentación del sensor, como lo es que las galgas deben estar colocadas de tal manera que por lo menos un elemento se deforme apreciablemente ante cualquier posible orientación de fuerzas y momentos.

Además, un componente de fuerza debe inducir el menor número posible de deformaciones en la estructura para lograr tener desacoplamiento entre componentes [14]. Una matriz de calibración simple ahorra considerablemente tiempo de cálculo y hace posible obtener un control en tiempo real del robot [44].

2.5. Conversión de la medida

Para medir la deformación generalmente se utiliza un puente de Wheatstone [4], habitualmente formado por tres resistencias iguales y una resistencia que se desconoce. En el caso del sensor de fuerza se forma utilizando cuatro galgas extensiométricas como se explica en la Figura 2.16, a esta configuración se le llama puente completo, al estar compuesto por 4 galgas extensiométricas.

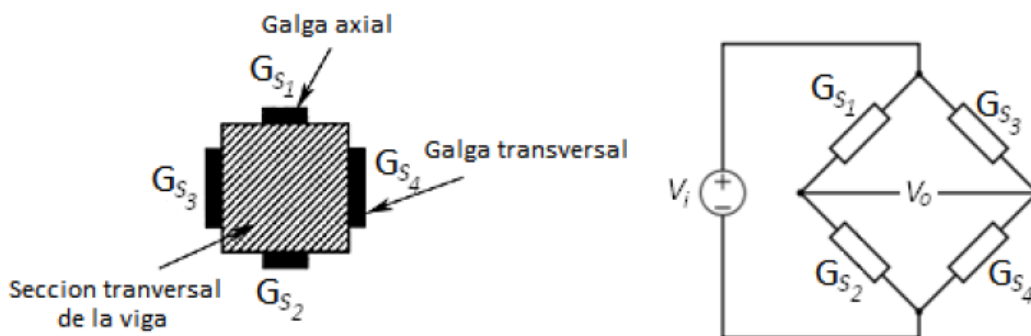


Figura 2.16: Ubicación de las galgas en el soporte y puente de Wheatstone.

Para medir la magnitud de la fuerza que genera la deformación, se dividen las cuatro galgas en dos medios puentes y en un brazo del puente se ponen las galgas que están expuestas a la aplicación de una fuerza que las deforma, éstas galgas son las que están en lados opuestos de la viga elástica, y se completa el puente con dos galgas libres de deformaciones por fuerzas (Figura 2.17).

Ésta configuración también sirve para compensar las variaciones de las galgas debido a la temperatura ya que el puente completo se hace sensible a la temperatura y no sólo una parte de él lo que hace que la salida diferencial del puente se mantenga estable frente a variaciones de temperatura, además que proporciona mayor sensibilidad de las medidas porque por un lado de la viga se hace una tensión

y por el otro una compresión de las galgas, aumentando la variación del voltaje de salida en el puente [31].

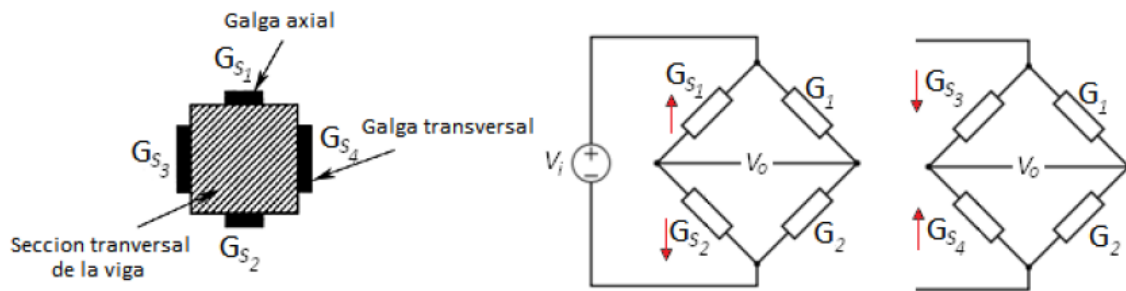


Figura 2.17: Configuración de puente completo con compensación de temperatura.

El voltaje V_0 resultante del puente viene dado por la siguiente ecuación:

$$V_0 = \left(\frac{R_{S2}}{(R_{S1} + R_{S2})} - \frac{R_{S4}}{(R_{S3} + R_{S4})} \right) \cdot V_i \quad (2.10)$$

Capítulo 3

Desarrollo del sensor

El sensor desarrollado ha sido diseñado para ir montado entre el brazo del robot y el efector final, es decir, se trata de un sensor de muñeca que es capaz de hacer mediciones en seis grados de libertad. En la Figura 3.1 se puede apreciar la ubicación del sensor en el brazo robot y las etapas de acondicionamiento y adquisición de las señales, procesamiento de las señales y presentación de los datos en la interfaz de usuario.

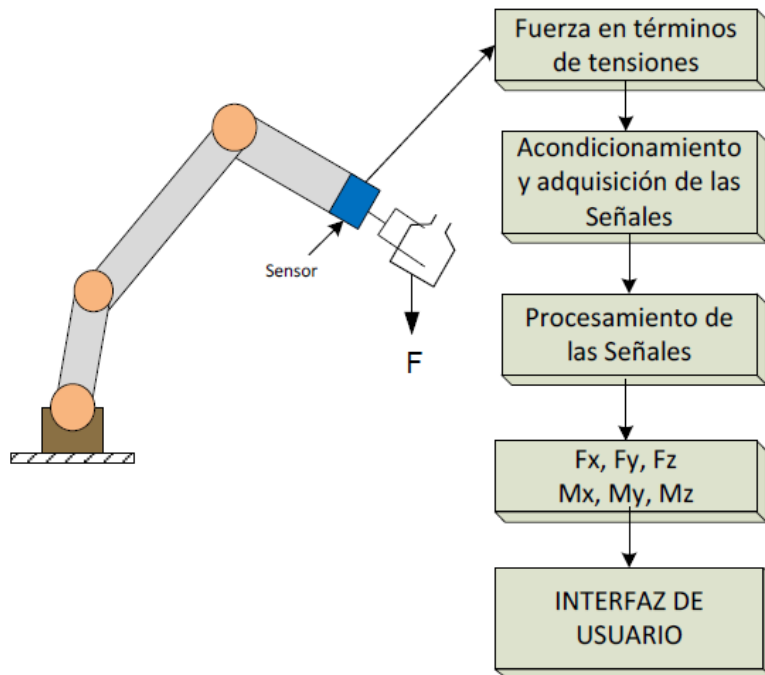


Figura 3.1: Diagrama de funcionamiento del sensor.

3.1. Estructura del sensor

Teniendo en cuenta los factores de coste y las características se ha optado por fabricar una estructura para el sensor como la mostrada en la Figura 3.2, se ha instrumentado con 4 galgas extensiométricas por cada viga, es decir, que en total

cuenta con 12 galgas extensiométricas para la medición de las flexiones de la estructura, además, se han colocado 2 galgas extensiométricas más en la estructura que sirven para completar los puentes de Wheatstone y así compensar los efectos de las variaciones de temperatura sobre la medición.

La estructura utilizada para el sensor se fabricó utilizando control numérico a partir de un trozo monolítico de aluminio, está compuesta por un anillo exterior unido a una brida interior o centro mediante tres vigas axiales en un ángulo de 120° una respecto de la otra, como se ve en la Figura 3.2. Su diseño se realizó en aluminio debido a que este metal posee un coeficiente de elasticidad aceptable, además de tener buena maleabilidad que permite realizar un mecanizado rápido disminuyendo el coste en un 60 % con respecto al mecanizado del acero que aunque tiene un coeficiente de elasticidad más elevado se debe debilitar de alguna manera, por ejemplo haciendo las vigas más delgadas o haciéndolas huecas para disminuir un poco su alta rigidez.

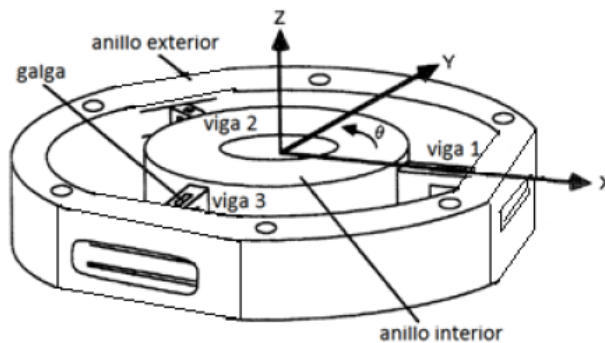


Figura 3.2: Estructura del sensor de fuerza utilizada.

Como se aprecia es una variación de la estructura mostrada en la Figura 2.9, cruz de Malta con vigas soportadas por placas delgadas pero cuenta con tres vigas en lugar de cuatro. El cuerpo del sensor ha sido construido con las siguientes dimensiones (Figura 3.3):

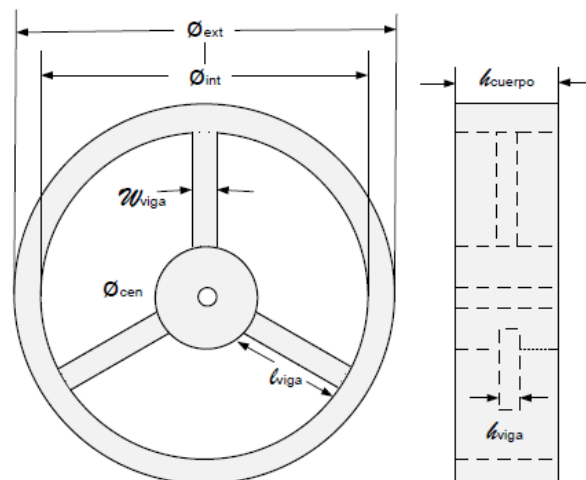


Figura 3.3: Dimensiones del transductor de fuerza/par desarrollado.

- Diámetro de anillo exterior ϕ_{ext} : 74 mm.
- Diámetro del anillo interior ϕ_{int} : 55mm.
- Diámetro del anillo central ϕ_{cen} : 20 mm.
- Altura del cuerpo h_{cuerpo} : 20 mm.
- Longitud de la viga l_{viga} : 20mm.
- Ancho de la viga W_{viga} : 2.60 mm.
- Altura de la viga h_{viga} : 5 mm.

Teniendo en cuenta la mecánica de vigas y haciendo un análisis de elasticidad de la estructura se puede obtener de manera teórica la respuesta del cuerpo elástico cuando éste se somete a fuerzas o pares. Como se puede observar en la Figura 3.4 una viga se puede someter a torsiones o flexiones y las ecuaciones que describen su comportamiento bajo estas situaciones son:

Para torsión:

$$d = \frac{4FL^3}{Eah^3} \quad (3.1)$$

Despejando la fuerza de (3.1) queda:

$$F = \frac{Eadh^3}{4L^3} \quad (3.2)$$

Para flexión:

$$\alpha = \frac{2\Pi L}{\pi Gr^4} \quad (3.3)$$

Despejando el par de (3.3), resulta:

$$\Pi = \frac{\alpha\pi Gr^4}{2L} \quad (3.4)$$

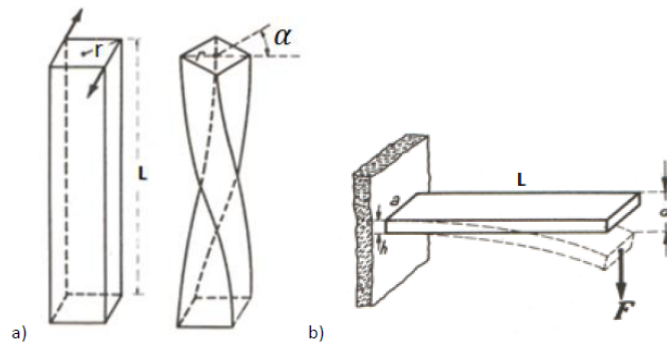


Figura 3.4: a) Torsión y b) flexión de una viga.

Realizando un análisis de la estática de la estructura (Figura 3.2) se obtienen los componentes de fuerzas y pares:

$$\begin{cases} F_x = f_{1x} + \Pi_{2x} + \Pi_{3x} + f_{2x} + f_{3x} \\ F_y = f_{1y} + \Pi_{2y} + \Pi_{3y} + f_{2y} + f_{3y} \\ F_z = f_{1z} + f_{2z} + f_{3z} \\ \Pi_x = \Pi_{1x} + f_{2x} + f_{3x} \\ \Pi_y = f_{1y} + \Pi_{2y} + \Pi_{3y} \\ \Pi_z = f_{1z} + f_{2z} + f_{3z} \end{cases} \quad (3.5)$$

Donde:

$$f_{ij} = \frac{Eadh^3}{4L^3} \quad (3.6)$$

$$\Pi_{ij} = \frac{\alpha\pi Gr^4}{2L} \quad (3.7)$$

Sea $i = 1, 2, 3$ cada una de las vigas de la estructura del sensor y $j = x, y, z$ cada uno de los ejes ordenados con origen en el centro de la estructura. Y cada símbolo representa:

F	Fuerza a la que está sometido (N)
Π	Momento de fuerza (N·m)
α	Ángulo de torsión (radianes)
G	Módulo de rigidez (N/m ²)
L	Longitud (m)
π	Constante Pi
r	Radio (m)
E	Módulo de Young (N/m ²)
h	Grosor (m)
a	Ancho (m)
d	Deformación (m)

3.2. Matriz de calibración

La matriz de calibración se obtiene mediante el método descrito por [38] y ampliamente utilizado como se comprueba con la abundante referencia bibliográfica encontrada [2][3][5][6][7][16][22][28][32][34][35][42][45]. Para calcular la matriz de calibración se ha seguido éste método que ya fue descrito en la sección 2.2, que consiste en aplicar una fuerza por cada uno de los componentes y medir el voltaje generado a la salida del puente de galgas, y con estos datos calcular la matriz de calibración del sensor de fuerza.

Para calibrar el sensor de fuerza se construyó un banco de pruebas con varias masas conocidas para que cada una ejerza una fuerza de 2, 5 y 10 newtons y en él se

tomaron 36 muestras por cada eje coordenado tanto por el lado positivo y negativo del eje. En total se tomaron 684 muestras de las respuestas que da el sensor a cada una de las fuerzas.

Para calcular la matriz de calibración se siguió el procedimiento de inversión mediante Moore-Penrose descrito por la ecuación (9) y utilizando las 684 muestras tomadas, dando como resultado la siguiente matriz:

$$C = \begin{bmatrix} 0,0319 & -0,0093 & -0,0104 & -0,0016 & -0,0172 & 0,0066 \\ -0,0029 & -0,0149 & -0,0170 & 0,0021 & 0,0226 & 0,0100 \\ 0,0318 & -0,0503 & 0,0572 & -0,0692 & 0,0627 & -0,0322 \\ 0,0319 & -0,0093 & -0,0104 & -0,0016 & -0,0172 & 0,0066 \\ -0,0029 & -0,0149 & -0,0170 & 0,0021 & 0,0226 & 0,0100 \\ 0,0318 & -0,0503 & 0,0572 & -0,0692 & 0,0627 & -0,0322 \end{bmatrix}$$

En su forma completa a partir de (6) queda:

$$\begin{bmatrix} F_x \\ F_y \\ F_z \\ \Pi_x \\ \Pi_y \\ \Pi_z \end{bmatrix} = \begin{bmatrix} 0,0319 & -0,0093 & -0,0104 & -0,0016 & -0,0172 & 0,0066 \\ -0,0029 & -0,0149 & -0,0170 & 0,0021 & 0,0226 & 0,0100 \\ 0,0318 & -0,0503 & 0,0572 & -0,0692 & 0,0627 & -0,0322 \\ 0,0319 & -0,0093 & -0,0104 & -0,0016 & -0,0172 & 0,0066 \\ -0,0029 & -0,0149 & -0,0170 & 0,0021 & 0,0226 & 0,0100 \\ 0,0318 & -0,0503 & 0,0572 & -0,0692 & 0,0627 & -0,0322 \end{bmatrix} \cdot \begin{bmatrix} S_1 \\ S_2 \\ S_3 \\ S_4 \\ S_5 \\ S_6 \end{bmatrix}$$

Se puede comprobar que para todo valor del vector de muestreo s corresponde un valor de fuerzas y pares.

3.3. Tarjeta de adquisición de datos

Teniendo en cuenta que las galgas extensiométricas son sensibles a la temperatura, y como medida de compensación, un brazo de los puentes de Wheatstone está formado por dos galgas libres de tensiones y el otro brazo del puente está formado por dos galgas situadas a los lados opuestos de cada viga, exponiéndose todas las galgas a las mismas variaciones de temperatura. Ahora bien, para acondicionar las señales que vienen de los puentes de galgas extensiométricas se ha utilizado un amplificador de instrumentación (INA128) que amplifica las señales para después capturarlas con un convertidor analógico a digital. La captura de datos se hace multiplexando la entrada del convertidor analógico a digital a cada una de las salidas de los seis puentes que forman las 14 galgas distribuidas en el cuerpo elástico. La adquisición y procesamiento de señales, y comunicación de datos mediante puerto USB con la interfaz de usuario se lleva a cabo usando un microcontrolador con características de DSP (dsPIC30f2011), que trabaja a su máximo de 30Mips.

El diagrama del sistema se muestra en la Figura 3.5. Consiste en un conjunto de galgas dispuestas sobre la estructura elástica que son multiplexadas en pares para con otras dos galgas formar un puente completo cuya salida se mide mediante un amplificador de instrumentación y se captura con un conversor analógico a digital. Teniendo en cuenta que el ADC sólo puede capturar voltajes de 0 a V_{ref} , antes de cada captura del ADC, el amplificador de instrumentación se debe referenciar a un

voltaje tal que su salida esté en este rango, para lo cual primero se debe ejecutar una rutina de ajuste de cero (descrita más adelante). Para poner la referencia del amplificador de instrumentación se utiliza un convertidor digital a análogo y un amplificador operacional. Luego los datos son transmitidos a la interfaz de usuario utilizando el protocolo USB, después, la interfaz se encarga del control del robot utilizando los datos recibidos.

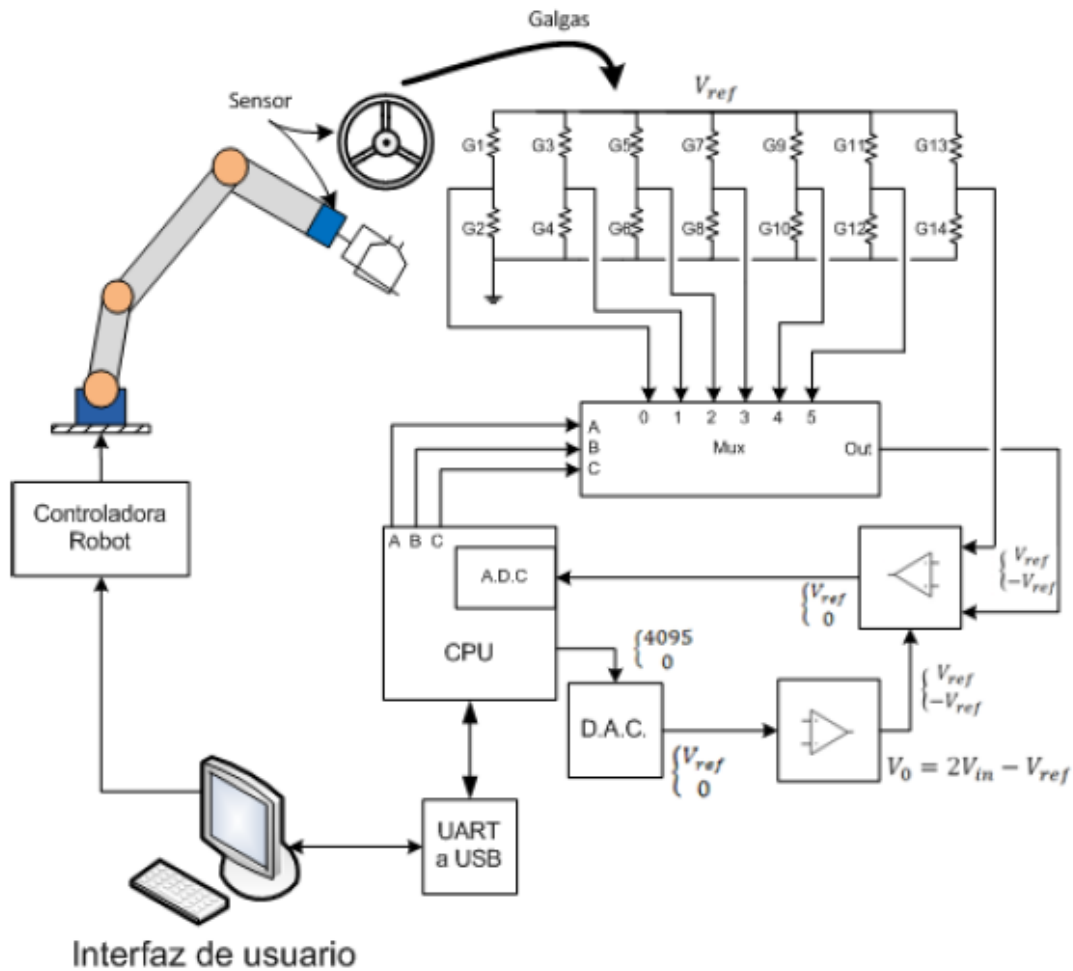


Figura 3.5: Diagrama conceptual del sistema.

El diagrama esquemático de la Figura 3.6, muestra los componentes utilizados para la construcción de la placa de acondicionamiento, adquisición y procesamiento de las señales de los puentes de galgas.

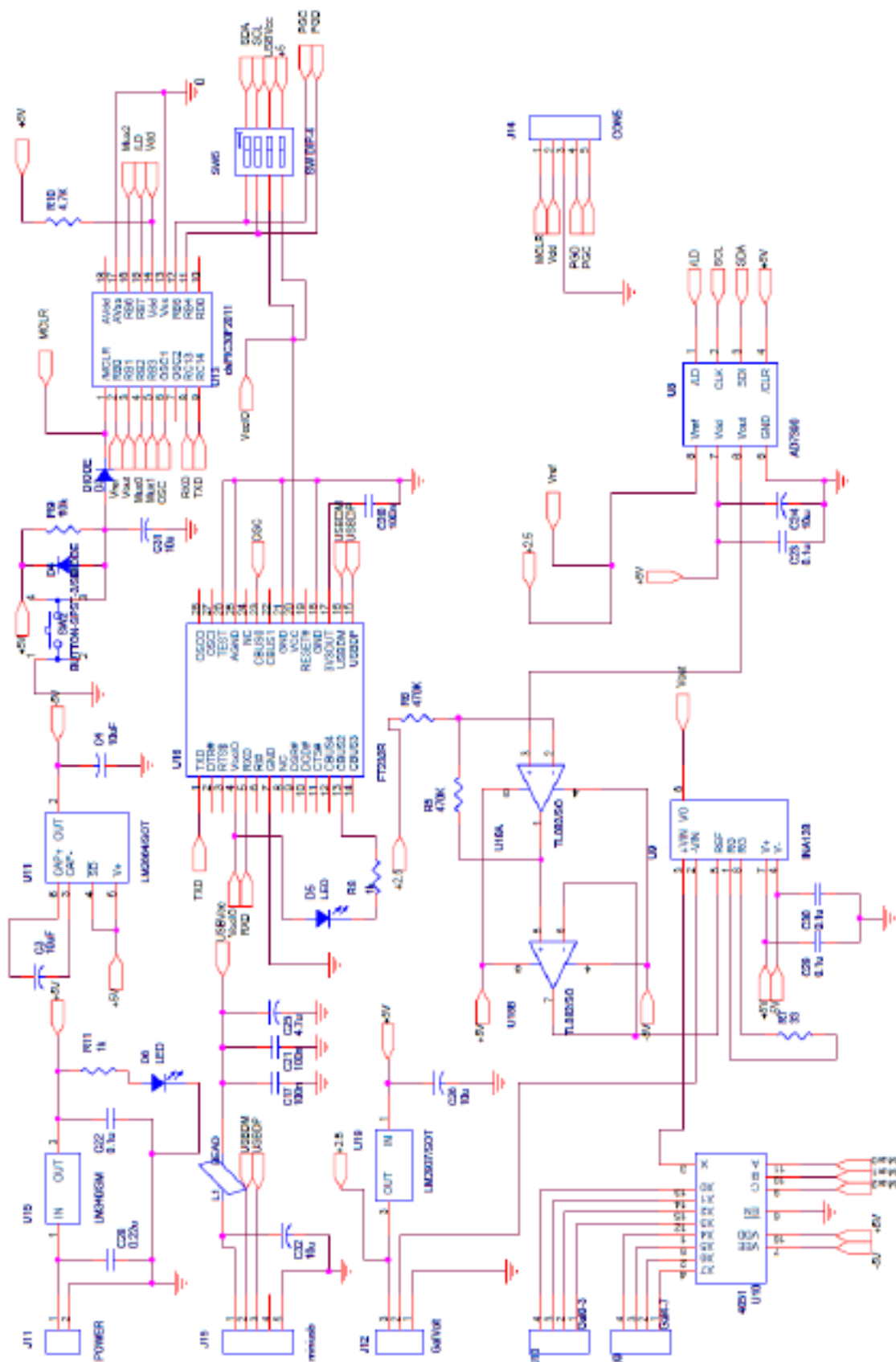


Figura 3.6: Esquemático de la tarjeta de adquisición de datos.

La placa del circuito impreso de la tarjeta de acondicionamiento y adquisición de señales se puede observar en la Figura 3.7. La dimensión es la misma que el cuerpo del sensor para que de esta manera queden unidos y formen un solo conjunto.

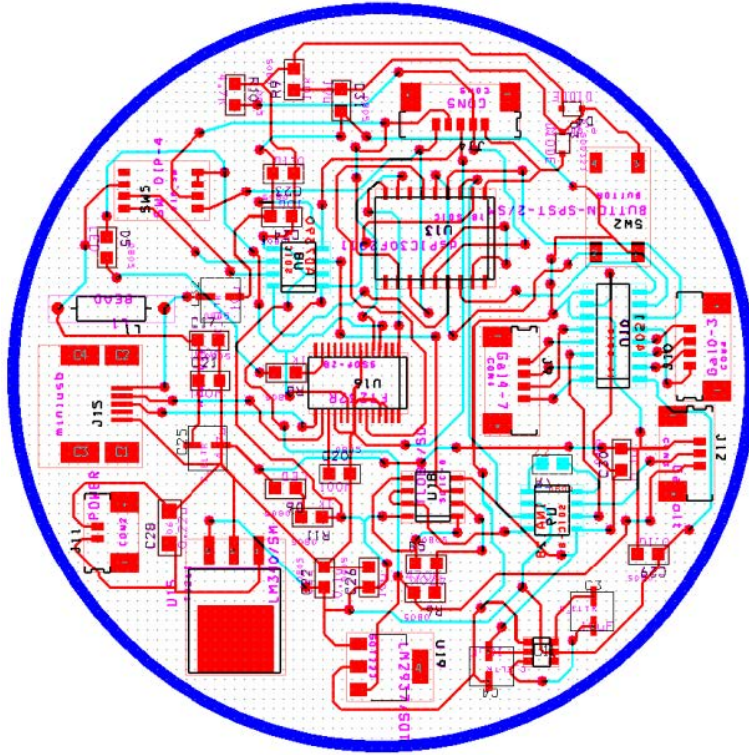


Figura 3.7: Circuito impreso de la tarjeta de adquisición de datos.

El hardware del prototipo del sensor de fuerzas de seis grados de libertad se muestra en la Figura 3.8.

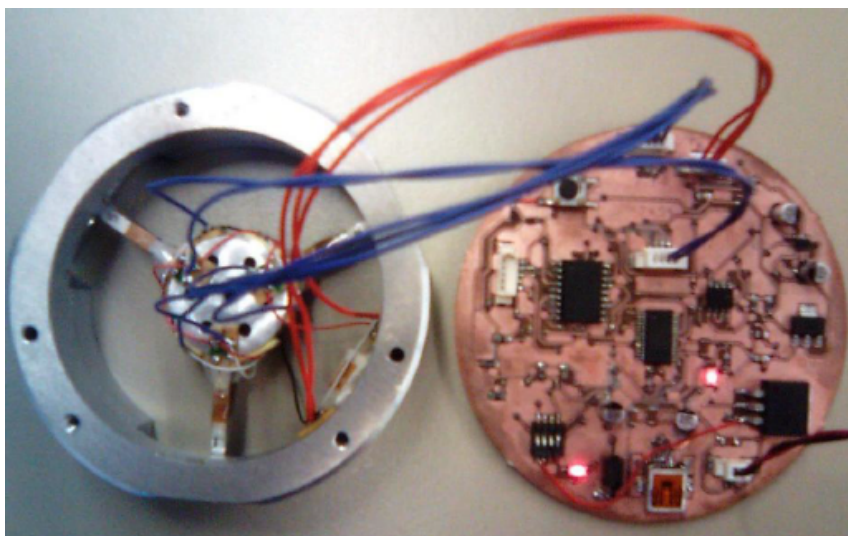


Figura 3.8: Resultado final del sensor de fuerza/par.

3.4. Programación

El procedimiento de ajuste del cero del sensor se realiza para compensar los efectos de la temperatura sobre las galgas que generan una variación de voltaje en los puentes. Este proceso consiste en medir los voltajes de salida de los puentes con el sensor libre de la acción de fuerzas o pares.

Este procedimiento se detalla en el diagrama de bloques de la Figura 3.9. Primero se inicializa un contador para cada uno de los puentes, en este caso se tienen 6 puentes de galgas. Se carga en el DAC el máximo valor posible, en este caso se cuenta con un DAC de 12 bits, entonces el máximo valor es 4095 en decimal, cuya salida tendrá que ser V_{ref} . Luego se multiplexa a la entrada del amplificador de instrumentación el primer brazo del puente para completarlo con el brazo que está libre de deformaciones causadas por fuerza o pares. A continuación se mide el voltaje de salida del puente, si este voltaje es 2047, es decir $V_{ref}/2$ se guarda su valor, si no, se decrementa el valor del DAC y se continúa midiendo el voltaje hasta que éste llegue a $V_{ref}/2$ y se guarda el valor del DAC, luego, se incrementa el contador y se continúa con los siguientes puentes.

Por medio de este procedimiento se construye un vector de 6 valores, cada uno es el valor que se debe poner en el DAC antes de realizar la medición de cada puente de galgas.

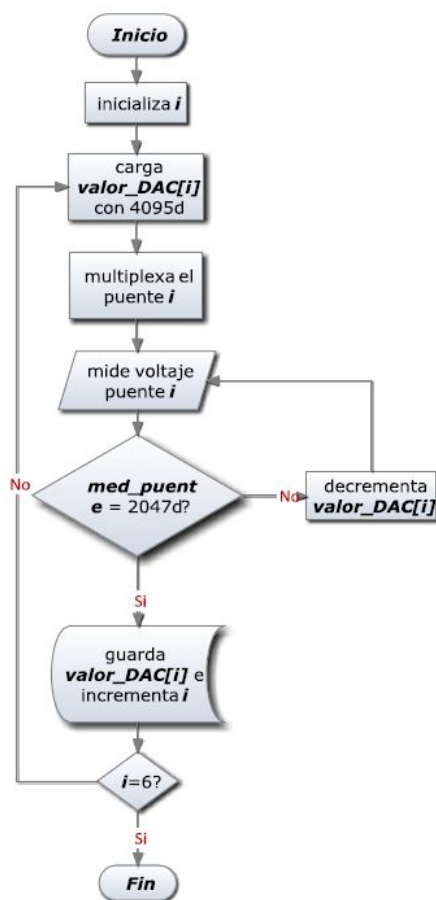


Figura 3.9: Diagrama de bloques rutina de ajuste del cero del sensor.

Después de tener ajustado el cero del sensor, se puede empezar a utilizar para realizar las mediciones de los puentes de galgas.

En este caso se ha diseñado un bucle infinito que transmite las lecturas hechas a los puentes de galgas del sensor (Figura 3.10). El bucle empieza inicializando un contador para cada uno de los puentes, luego se carga el valor del DAC correspondiente al puente que fue guardado previamente en el proceso anterior de ajuste a cero, se multiplexa el puente en cuestión y se mide su voltaje, después se incrementa el contador para continuar con los siguientes puentes, después se transmite al usuario. Cuando se ha terminado de hacer la medición de todos los puentes, se empieza el procedimiento de nuevo.

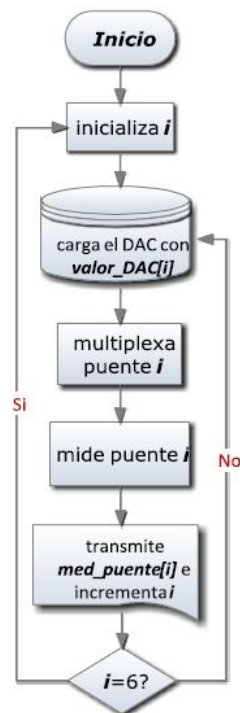


Figura 3.10: Diagrama de bloques bucle infinito de medición de los puentes.

Capítulo 4

Análisis de los resultados obtenidos

Para la calibración del sensor de fuerza se realizó una toma de muestras como se explicó anteriormente, en la Figura 4.1 y en la Figura 4.2 se muestra un gráfico del promedio de dichas muestras para una fuerza positiva y negativa respectivamente. En ellas se puede notar la linealidad que tienen las variaciones en cada eje coordenado tanto para valores positivos como para valores negativos de dichas fuerzas.

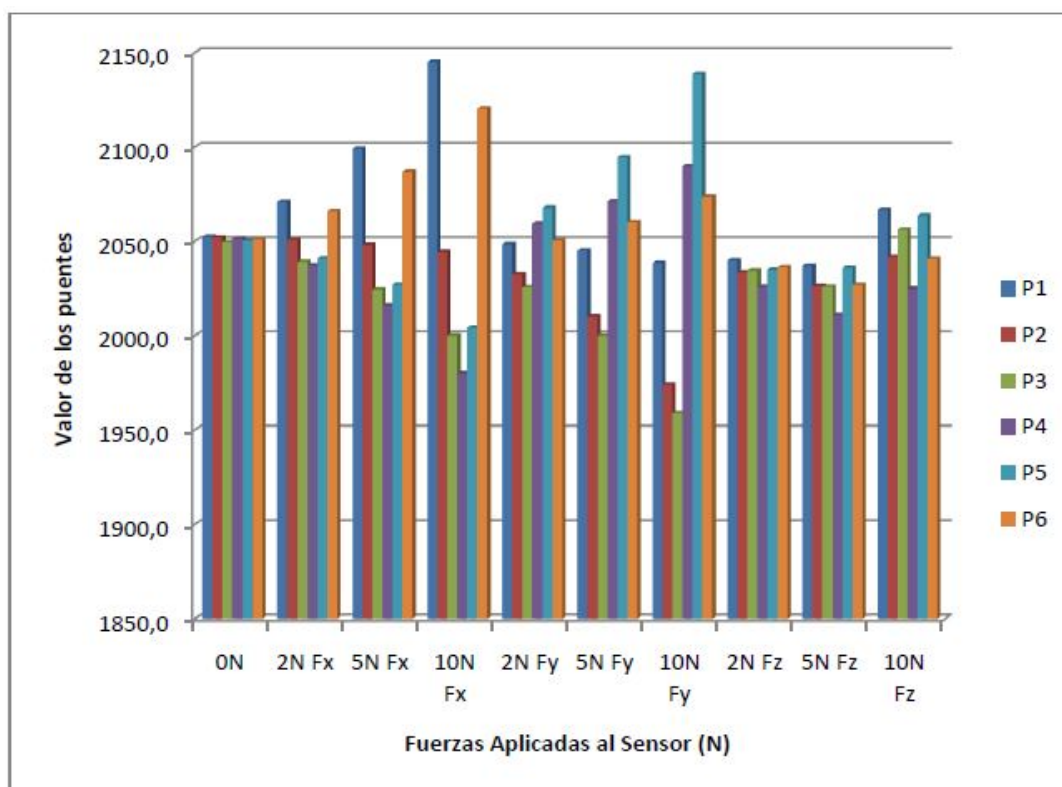


Figura 4.1: Valor promedio de las muestras tomadas para la calibración, aplicando fuerzas puras positivas en cada eje coordenado.

Esta linealidad es la que ha permitido obtener un sensor de fuerza y par estable

en la medida, ya que se ha comprobado en el banco de pruebas que no varía la medición de las fuerzas, es decir que la respuesta es estable.

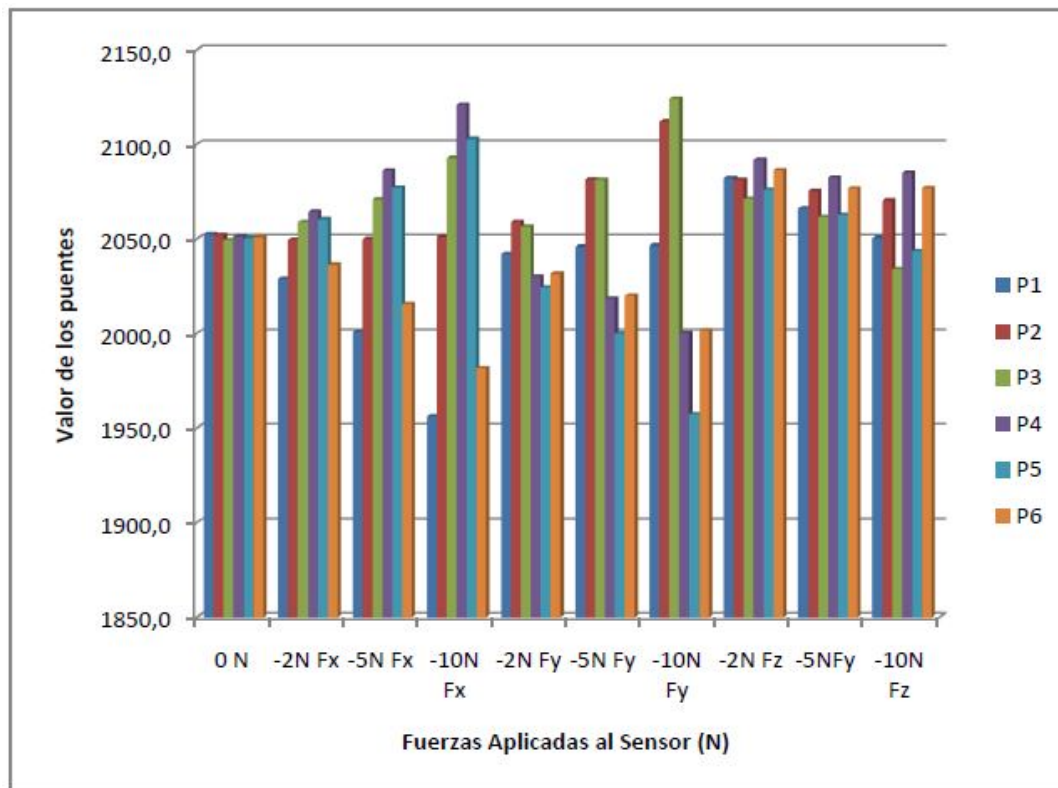


Figura 4.2: Valor promedio de las muestras tomadas para la calibración, aplicando fuerzas puras negativas en cada eje coordenado.

Para la validación del diseño del sensor de fuerzas y pares, se ha desarrollado una aplicación de control de un robot SCARA como el visto en la Figura 4.3, el control se hace a partir de los datos de las fuerzas que actúan sobre el sensor y que son interpretadas por la interfaz de control para generar los comandos de control para el movimiento del robot.

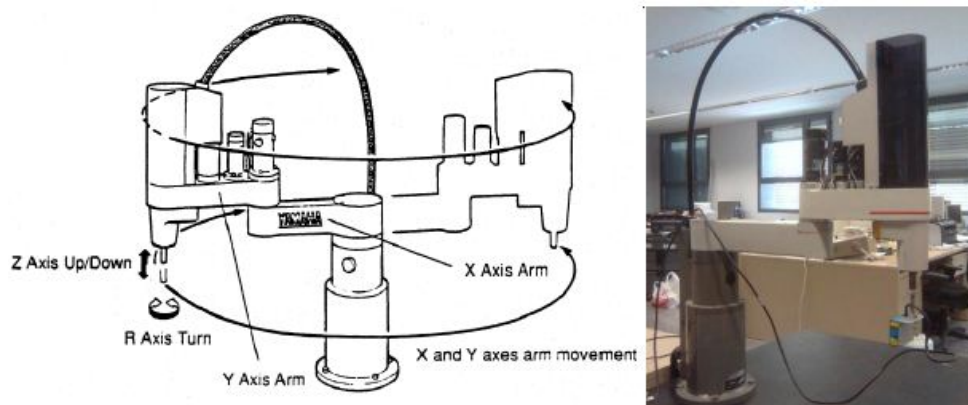


Figura 4.3: Robot SCARA de Yamaha.

El sensor de fuerzas y pares se comunica con la interfaz de control a través del puerto USB del ordenador para obtener los datos de las mediciones de los puentes de galgas. Dichos datos se pueden apreciar en la Figura 4.4, que también cuenta con una representación visual en forma de barras para los componentes de fuerza.

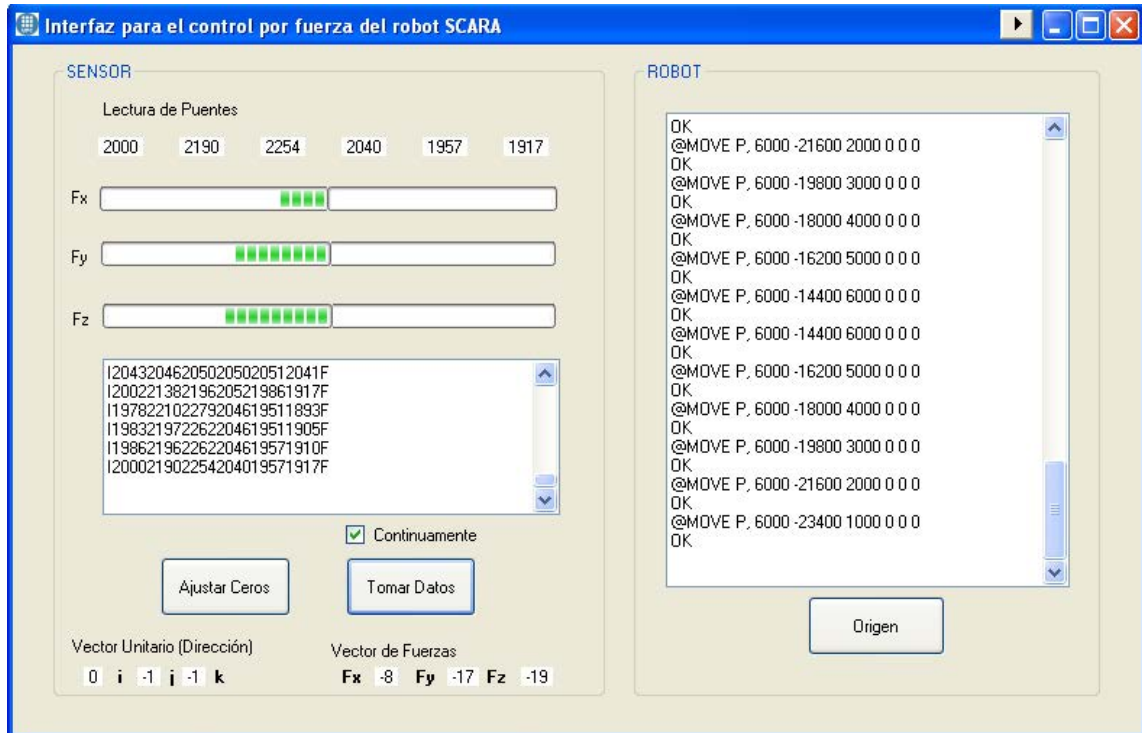


Figura 4.4: Interfaz del programa de control por fuerza del robot SCARA.

El control del robot se ejecuta enviándole comandos de movimiento en las tres dimensiones espaciales para el efector final a la controladora del robot. Para ello, se parte del conocimiento del punto inicial en el que comienza el robot a operar, se calcula un vector incremento $\vec{I}_p(i, j, k)$ que luego es sumado al vector posición inicial $\vec{P}_o(i, j, k)$ dando como resultado el vector posición final $\vec{P}_f(i, j, k)$ tal y como se indica en la Figura 4.5.

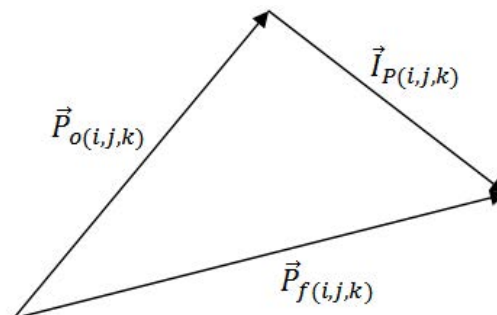


Figura 4.5: Cálculo de comando de posición para el robot.

El programa de la interfaz de control se explica en la Figura 4.6, es básicamente

un bucle infinito donde se lleva el proceso de lectura de datos y cálculos para el control del robot industrial, explicado anteriormente.

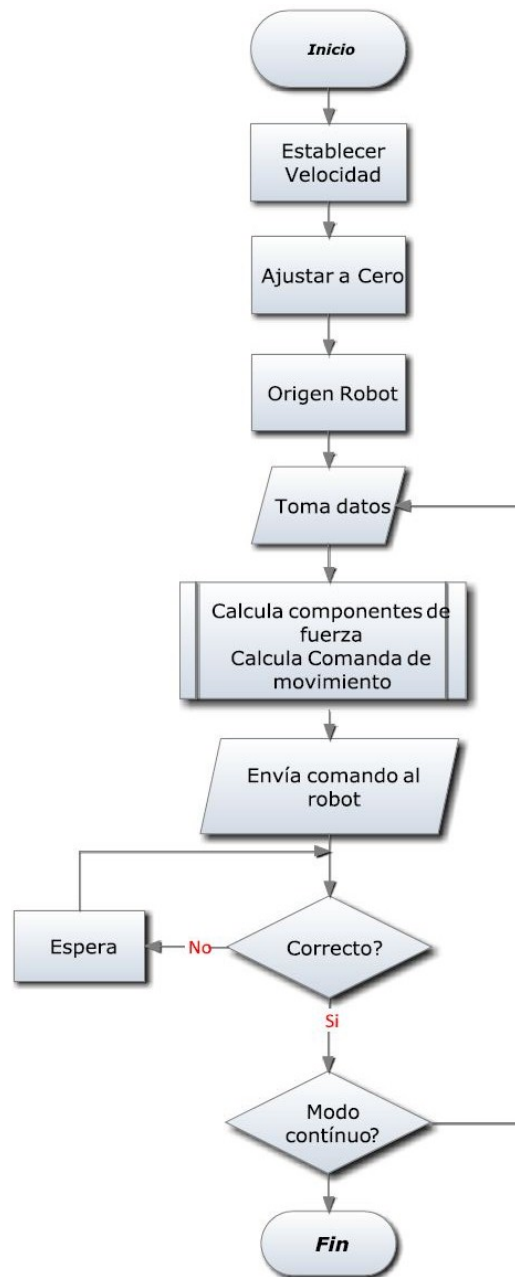


Figura 4.6: Diagrama de bloques de funcionamiento del programa de la Interfaz.

La aplicación de verificación del sensor de fuerzas y pares ha resultado satisfactoria en términos de velocidad de respuesta del sensor y respuesta al control del robot. Usando las herramientas de simulación de MPLAB y el contador de tiempo Stopwatch se ha medido el tiempo que tarda la tarjeta de acondicionamiento y adquisición de las señales en realizar las mediciones y enviar los datos de todos los puentes de galgas extensiométricas, este tiempo es de aproximadamente 1,290 ms como se muestra en la Figura 4.1.

Tabla 4.1: Tiempo de ejecución de tareas.

Función	Tiempo
Escribir SPI	1,7 μs
Cambiar puente	7,0 μs
Pausa estabilización	60,0 μs
Medir puente	146,3 μs
Total por puente	215,0 μs
Total	1290,0 μs

En otras palabras, el hardware desarrollado es capaz de muestrear todos los puentes a una frecuencia de 775,2 Hz. En aplicaciones de biomedicina, de interacción con pacientes, por ejemplo para ayudar a la rehabilitación o fisioterapia la frecuencia de los movimientos puede oscilar entre los 10 Hz y los 100 Hz, así que el sensor con ésta frecuencia de muestreo es más que admisible.

Capítulo 5

Conclusiones y trabajos futuros

Se realizó el diseño e implementación de un sistema sensor de fuerzas y pares de seis grados de libertad. El sistema diseñado cumple con las características deseadas desde un principio, como son:

- Tener las dimensiones apropiadas para ser montado en la muñeca del robot manipulador.
- Mantener bajos los costes de implementación
- Poseer conexión mediante USB para transmitir los datos a la interfaz del usuario.
- Tener elevada sensibilidad en las mediciones de fuerza y par.
- Tener elevada velocidad para posibilitar su implementación en sistemas de tiempo real, lo que se ha conseguido utilizando un procesador de señales.

Se ha validado su funcionamiento implementando una aplicación de control por fuerza aplicada a un robot manipulador industrial.

Se pudo comprobar que el acoplamiento entre las componentes de fuerzas es bajo para este tipo de estructura elástica, utilizando tan sólo 14 galgas extensiométricas, una cantidad inferior a la generalmente utilizada de 18 o más.

Para la realización del proyecto se presentaron las siguientes dificultades:

- Pequeños errores en las mediciones causados por desviaciones en el posicionamiento de las galgas extensiométricas sobre las vigas del sensor.
- En el montaje de la placa de acondicionamiento y adquisición de señales, no se tuvo en cuenta el tamaño que ocuparían los componentes electrónicos, así, que para encajar la placa en la estructura elástica, se han de colocar tornillos largos, otra solución es rediseñar el circuito impreso para darle el tamaño adecuado.
- En el diseño de la placa de acondicionamiento de señales, en un principio no se tuvo en cuenta el ruido, debido a esto se obtenían variaciones muy significativas en las señales de las galgas después de capturarlas con el ADC, para solucionarlo se diseñaron filtros RC paso bajo, a la frecuencia de 8KHz, frecuencia de la armónica principal vista en el analizador de señales.

Como trabajos futuros se proponen los siguientes:

- Realizar una mejora en cuanto al posicionamiento de las galgas en las vigas, ya que algunas presentan pequeñas desviaciones que influyen en las mediciones realizadas.
- Mejorar el posicionamiento de los componentes dentro del circuito impreso de la tarjeta de acondicionamiento y adquisición de señales para poder encajarla dentro de la estructura del sensor de fuerzas y pares.
- Continuar verificando su funcionamiento en otras aplicaciones con robot industriales.
- Comprobar el correcto funcionamiento utilizando redes neuronales para el procedimiento de calibración, una primera aproximación puede se usar redes del tipo SOM y a partir de las muestras tomadas hacer una clasificación para deducir los componentes de las fuerzas y pares.

Capítulo 6

Bibliografía

- [1] Beer, F., Johnston, J., DeWolf, J. & Mazurek, D. 2008, *Mechanics of Materials, Third Edition edn, McGraw-Hill*.
- [2] Beyeler, F., Muntwyler, S., Nagy, Z., Moser, M. & Nelson, B.J. 2007, “A multi-axis MEMS force-torque sensor for measuring the load on a microrobot actuated by magnetic fields”, *Intelligent Robots and Systems, 2007. IROS 2007. IEEE/RSJ International Conference on* San Diego, CA, USA, pp. 3803-3808.
- [3] Beyeler, F., Muntwyler, S. & Nelson, B.J. 2009, “Design and calibration of a microfabricated 6-axis force-torque sensor for microrobotic applications”, *Robotics and Automation, 2009. ICRA '09. IEEE International Conference on*, pp. 520.
- [4] Boyes, W. 2003, *Instrumentation Reference Book*, 3rd Edition edn, Elsevier.
- [5] Canadija, M. & Avramovic, N. 2008, “Optimization of 6-Axis Force Transducer”, *Advanced Engineering*, vol. 2, pp. 177-186.
- [6] Canbay, E., Ersoy, U. & Tankut, T. 2004, “A three component force transducer for reinforced concrete structural testing”, *Engineering Structures*, vol. 26, no. 2, pp. 257.
- [7] Chao, L. & Chen, K. 1997, “Shape optimal design and force sensitivity evaluation of six-axis force sensors”, *Sensors and Actuators A: Physical*, vol. 63, no. 2, pp. 105-112.
- [8] De Silva, C.W. 2004, *Mechatronics: An Integrated Approach*, CRC Press, New York.
- [9] Dorogoy, A. & Rittel, D. 2008, “Optimum location of a three strain gauge rosette for measuring mixed mode stress intensity factors”, *Engineering Fracture Mechanics*, vol. 75, no. 14, pp. 4127.
- [10] Elbestawi, M. 1999, “Force Measurement in *The Measurement, Instrumentation and Sensors Handbook on CD-ROM* CRC Press.
- [11] Fernandez, A.F., Berghmans, F., Brichard, B., Gusarov, A., Deparis, O., Décréton, M., Mégret, P., Blondel, M. & Delchambre, A. 2000, “Multi-component force sensors based on multiplexed fiber Bragg grating strain sensors”, *Proc. SPIE 14th Int. Conf. Optical Fiber Sensors (OFS-14)*, pp. 106.
- [12] Gaillet, A. & Reboulet, C. 1983, “An isostatic six component force and torque sensor”, *Proceedings of the 13th international symposium on industrial robotics*, pp. 102-111.
- [13] Garshelis, I. 1999, “Torque and Power Measurement in *The Measurement,*

Instrumentation and Sensors Handbook on CD-ROM CRC Press.

[14] Gorinevsky, D., Formalsky, A. & Schneider, A. 1997, *Force Control of Robotics Systems*, CRC-Press.

[15] Goto, T., Inoyama, T. & Takeyasu, K. 1974, "Precise insert operation by tactile controlled robot HI-T HAND EXPERT 2", *4th International Symposium on Industrial Robots*, pp. 209-217.

[16] Hirose, S. & Yoneda, K. 1990, "Development of optical six-axial force sensor and its signal calibration considering nonlinear interference", *Robotics and Automation, 1990. Proceedings., 1990 IEEE International Conference on*, pp. 46.

[17] Hu, X., Wang, R., Wu, F., Jin, D., Jia, X., Zhang, J., Cai, F. & Zheng, S. 2007, "Finite element analysis of a six-component force sensor for the trans-femoral prosthesis", *Proceedings of the 1st international conference on Digital human modeling Springer-Verlag, Berlin, Heidelberg*, pp. 633.

[18] Jacq, C., Lüthi, B., Maeder, T., Lambercy, O. & Gassert, R. 2010, "Thick-film multi-DOF force / torque sensor for wrist rehabilitation", *Sensors and Actuators*, vol. 162, no. 2, pp. 361-366.

[19] Jin, W.L., Mote, C.D. & Jr. 1998, "Development and calibration of a sub-millimeter three-component force sensor", *Sensors and Actuators A: Physical*, vol. 65, no. 1, pp. 89.

[20] Kang, C. 2005, "Performance Improvement of a 6-Axis Force-torque Sensor via Novel Electronics and Cross-shaped Double-hole Structure", *International Journal of Control Automation and System*, vol. 3, no. 3, pp. 469-476.

[21] Kang, C. 2001, "Closed-form force sensing of a 6-axis force transducer based on the Stewart platform", *Sensors and Actuators A: Physical*, vol. 90, no. 1-2, pp. 31-37.

[22] Kim, G. 2007, "Design of a six-axis wrist force/moment sensor using FEM and its fabrication for an intelligent robot", *Sensors and Actuators A: Physical*, vol. 133, no. 1, pp. 27.

[23] Kim, G., Kang, D. & Rhee, S. 1999, "Design and fabrication of a six-component force/moment sensor", *Sensors and Actuators A: Physical*, vol. 77, no. 3, pp. 209-220.

[24] Kim, G., Shin, H. & Yoon, J. 2008, "Development of 6-axis force/moment sensor for a humanoid robot's intelligent foot", *Sensors and Actuators A: Physical*, vol. 141, no. 2, pp. 276.

[25] Krouglicof, N., Alonso, L.M. & Keat, W.D. 2004, "Development of a mechanically coupled, six degree-of-freedom load platform for biomechanics and sports medicine", *2004 IEEE International Conference on Systems, Man and Cybernetics*, pp. 4426.

[26] Li, Y.F. & Chen, X.B. 1998, "On the dynamic behavior of a force/torque sensor for robots", *Instrumentation and Measurement, IEEE Transactions on*, vol. 47, no. 1, pp. 304-308.

[27] Li, Y., Sun, B., Zhang, J., Jia, Z. & Qian, M. 2008, "Research on Piezoelectric Six-Dimensional Heavy Force Sensor with Four-Point Supporting Structure", *Proceedings of the First International Conference on Intelligent Robotics and Applications: Part I Springer-Verlag, Berlin, Heidelberg*, pp. 314.

[28] Liang, Q., Ge, Y., Song, Q. & Ge, Y. 2009, "A novel thin six-dimensional

wrist force/torque sensor with isotropy”, *ICIA '09. International Conference on Information and Automation*, 2009, pp. 1135.

[29] Liang, Q., Zhang, D., Song, Q., Ge, Y., Cao, H. & Ge, Y. 2010, “Design and fabrication of a six-dimensional wrist force/torque sensor based on E-type membranes compared to cross beams”, *Measurement*, vol. 43, no. 10, pp. 1702-1719.

[30] Lin, S., Liu, W., Wang, Y., Jia, Z. & Wang, F. 2008, “A Novel Six-Axis Heavy Force Sensor”, *International Conference on Image Analysis and Recognition 2008*, Springer Berlin / Heidelberg.

[31] Liu, S.A. & Tzo, H.L. 2002, “A novel six-component force sensor of good measurement isotropy and sensitivities”, *Sensors and Actuators A: Physical*, vol. 100, no. 2-3, pp. 223-230.

[32] Lu, T., Lin, G.C.I. & He, J.R. 1997, “Neural-network-based 3D force/torque sensor calibration for robot applications”, *Engineering Applications of Artificial Intelligence*, vol. 10, no. 1, pp. 87.

[33] Luo, R.C. 1988, “A microcomputer-based intelligent sensor for multiaxis force/torque measurement”, *IEEE Transactions on Industrial Electronics*, vol. 35, no. 1, pp. 26-30.

[34] Park, F.C. & Martin, B.J. 1994, “Robot sensor calibration: solving $AX=XB$ on the Euclidean group”, *Robotics and Automation, IEEE Transactions on*, vol. 10, no. 5, pp. 717-721.

[35] Sanders, J.E., Miller, R.A., Berglund, D.N. & Zachariah, S.G. 1997, “A modular six-directional force sensor for prosthetic assessment: a technical note”, *Journal of Rehabilitation Research and Development*, vol. 34, no. 2, pp. 195-202.

[36] Sciavicco, L. & Siciliano, B. 1995, *Modelling and control of robot manipulators*, McGraw-Hill, New York.

[37] Shi, W. & D Hall, S. 2005, “A novel six-axis force sensor for measuring the loading of the racing tyre on track”, *1st International Conference on Sensing Technology*, pp. 408-413.

[38] Shimano, B. & Roth, B. 1977, “On force sensing information and its use in controlling manipulators”, *Proceedings of the IFAC International Symposium on Information-Control Problems in Manufacturing Technology*.

[39] Song, A. 2008, “Multi-Dimensional Force Sensor Design for Haptic Human-Computer Interaction”, *Human Computer Interaction*, ed. I. Pavlidis, InTech, pp. 239-256.

[40] Song, A., Wu, J., Li, J., Zeng, Q. & Huang, W. 2006, “A Novel Four Degree of Freedom Wrist Force/Torque Sensor with Low Coupled Interference”, *2006 IEEE/RSJ International Conference on Intelligent Robots and Systems*, pp. 4423.

[41] Stefanescu, D.M. 2011, *Handbook of Force Transducers*, 1st Edition edn, Springer-Verlag, Berlin.

[42] Sun, Y.; Kim, K.; Voyles, R.; Nelson, B. 2007, “Calibration of Multi-Axis MEMS Force Sensors Using the Shape-From-Motion Method”, *Sensors Journal, IEEE*, vol. 7, no. 3, pp. 344-351.

[43] Takahashi, N., Tada, M., Ueda, J., Matsumoto, Y. & Ogasawara, T. 2003, “An optical 6-axis force sensor for brain function analysis using fMRI”, *In Proceedings of IEEE Sensors*, pp. 253.

[44] Tsuji, T. & Hanyu, R. 2010, “Fault tolerance measurement using a six-

axis force/torque sensing system with redundancy”, *Intelligent Robots and Systems (IROS), 2010 IEEE/RSJ International Conference on*, pp. 1890.

[45] Voyles, R., Morrow, J. & Khosla, P. 1997, “The Shape from Motion Approach to Rapid and Precise Force/Torque Sensor Calibration”, *Journal of Dynamic Systems, Measurement, and Control*, vol. 119, pp. 229–235.

[46] Weiyi, H., Hongming, J. & Hanqing, Z. 1993, “Mechanical analysis of a novel six-degree-of-freedom wrist force sensor”, *Sensors and Actuators A: Physical*, vol. 35, no. 3, pp. 203-208.

[47] Xu, K., Mei, T., Li, Q. & Wu, T. 2004, “Measurement of wrist force/torque using data fusion technique”, *Intelligent Robots and Systems, 2004. (IROS 2004). Proceedings. 2004 IEEE/RSJ International Conference on*, pp. 3027.

[48] Zhang, X. 2009, “Development of a novel three-axis force sensor”, *Technology and Innovation Conference 2009 (ITIC 2009), International*, pp. 1.

Capítulo 7

Anexos

7.1. Anexo I. Código fuente programa principal

```
1  /*****
2  /* Proyecto:   Sensor de fuerzaa de 6 grados de libertat */
3  /* Module:    Lectura de 6 galgas , control del DAC por SPI */
4  /*
5  /* Autor(es): Jean Carlo , Oriol Escoté , Aina Barceló */
6  /*
7  /* Revision:   17/08/2011 */
8  /*****
9  #include "p33FJ12GP202.h"
10 #include "p33fxxxx.h"
11 #include "delay.h"
12 #include <uart.h>
13 #include <timer.h>
14 #include <adc.h>
15 #include <stdio.h>
16 #include <spi.h>
17 #include <libpic30.h>
18 /*****
19 /* Configuration words */
20 /*****
21 _FOSC(POSCMDDEC & FNOSC_PRIPLL); //CLK switching and fail safe monitor
   disable and External clock with PLL16
22 _FWDI(FWDTEN.OFF); //Watch dog disable
23 _FPOR(FPWRT.PWR1); //Voltage protection disable
24 _FGS( GCP.OFF );//code protection disable
25 /*****
26 /* Hardware */
27 /*****
28 #define BAUD.RATE    115200 //usart frequency
29 #define FXT          6000000LL //oscilation frequency used
30 #define PLL          16 //pll used
31 #define FCY          (FXT * PLL) / 4 //24 Mhz
32 #define BRG          (FCY / (16L * BAUD.RATE)) - 1L //baud rate generator
   register
33 #define ANALOG.SUPPLY    LATBbits.LATB1 //entrada analoga
34 #define mux0             PORTDbits.RD0
35 #define mux1             PORTCbits.RC15
```

```

36 #define mux2          PORTBbits.RB7
37 /******
38 /* Global Variable declaration
39 /******
40 char uiCharacter;
41 unsigned int valor_DAC[8], valor [8], valor_puente [8];
42 void medir_puentes (void);
43 void ajustar_ceros (void);
44 void rutina_calibracion(void);
45 void cambiar_puentes();
46 void Delay_Us();
47 /******
48 /* Interrupts
49 /******
50 /******
51 /* Configuración de Periféricos
52 /******
53 void ConfigIO()
54 { // Config input & output ports
55   LATA = 0x0000;
56   TRISA = 0x3FFF; // PortC as input
57   LATB = 0x0000;
58   TRISB = 0x002B; // PortD as input
59   ADPCFG = 0xFFFF;
60 }
61 /******
62 void AnalogConfig()
63 {
64   AD1CON1bits.ADON = 0; // Turn off ADC
65   OpenADC1(ADC_MODULE_ON & // Turn on ADC
66   ADC_IDLE_CONTINUE & // Continue in idle mode
67   ADC_AD12B_12BIT & // 12 bit, 1-channel ADC operation
68   ADC_FORMAT_INTG & // Integer output format
69   ADC_CLK_AUTO & // Internal counter ends sampling and starts
70   ADC_AUTO_SAMPLING_OFF & // Sampling begins when SAMP bit set
71   ADC_SAMP_OFF, // Writing 1 will start sampling
72   ADC_VREF_EXT_AVSS & // Volt. ref. Vref+ external, Vref- is AVss
73   ADC_SAMPLES_PER_INT_1 & // Convert 1 samples per interrupt
74   ADC_SCAN_OFF & // Do not scan inputs
75   ADC_ALT_BUF_OFF & // Buffer mode 16 bits
76   ADC_ALT_INPUT_OFF, // Do not use alternate input mode
77   ADC_SAMPLE_TIME_31 & // Auto-sample time bits ->Tsample = 31 Tad
78   ADC_CONV_CLK_SYSTEM & // A/D Source Clock derived from system clock
79   ADC_CONV_CLK_32Tcy, // A/D Conversion Clock -> Tad = 32 Tcy
80   ADC_DMA_BUF_LOC_128, // Allocates words of buffer to each analog
      input
81   ADC_CH123_POS_SAMPLEA_0_1_2, // A/D CH1 pos i/p is AN0, CH2 pos i/p
      is AN1, CH3 pos i/p is AN2
82   ADC_CH0_NEG_SAMPLEB_AN1, // CH0 negative input is AN1
83   ENABLE_AN1_ANA, // AN1 as analog
84   ADC_SCAN_OFF); // Do not perform input scan
85 }
86 /****** * LECTURA DEL ADC * *****
87 unsigned int AcquireAnalog()
88 {
89   unsigned int uiTemp=0, j=0;

```



```

90 AD1PCFGLbits.PCFG1 = 0;
91 SetChanADC1(ADC.CH0_NEG_SAMPLEA_AN1 & //A/D sel for SAMPLE A is AN1
92 ADC.CH0_NEG_SAMPLEA_VREFN); // Set chan. 0 neg. input to Vref-
93 for (j=0;j<10;j++){
94     IFS0bits.ADIF = 0;           // Reset ADC interrupt flag
95     ADCON1bits.SAMP=1;          // Start sampling
96     while (!IFS0bits.ADIF);     // Wait until conversion is finished
97     uiTemp = (uiTemp + ((ReadADC12(0))/10)); // Promedio lecturas ADC
98 }
99 uiTemp = ReadADC1(0);
100 return uiTemp;
101 }
102 /***** * CONFIGURACIÓN DE LA UART * *****/
103 void UARTConfig()
104 {
105     ConfigIntUART1(UART_RX_INT_DIS &
106     UART_RX_INT_PR6 &
107     UART_TX_INT_DIS &
108     UART_TX_INT_PR4);
109     OpenUART1(UART_EN & // Enable UART
110     UART_IDLE_CON & // Continue on idle mode
111     UART_DIS_WAKE & // Disable wake-on start
112     UART_DIS_LOOPBACK & // Disable loopback mode
113     UART_DIS_ABAUD & // Disable autobaud mode
114     UART_NO_PAR_8BIT & // 8bits / No parity
115     UART_1STOPBIT, // 1 Stop bit
116     UART_TX_PIN_NORMAL & // Tx break bit normal
117     UART_TX_ENABLE & // Enable Transmission
118     UART_INT_RX_CHAR, // Interrupt on every char received
119     BRG); // Baudrate
120 }
121 /***** * ENVIAR DATO AL DAC * *****/
122 void escribir_SPI(short command)
123 {
124     short temp;
125     PORTBbits.RB2 = 1; // lower the slave select line
126     temp = SPI1BUF; // read SPI1BUF register to clear SPIRBF flag
127     SPI1BUF = command; // write the data out to the SPI peripheral
128     //while (!SPI1STATbits.SPIRBF); // wait for the data to be sent out
129     PORTBbits.RB2 = 0; // raise the slave select line
130 }
131 /***** * RUTINA CAMBIO DE PUENTES * *****/
132 void cambiar_puentes(int j){
133     switch (j){
134     case 0:
135         mux0=0x0;
136         mux1=0x0;
137         mux2=0x0;
138         Delay_Us(250); //propagación de las señales del multiplexor
139         break;
140     case 1:
141         mux0=0x1;
142         mux1=0x0;
143         mux2=0x0;
144         Delay_Us(250);
145         break;

```

```

146     case 2:
147         mux0=0x0;
148         mux1=0x1;
149         mux2=0x0;
150         Delay_Us(250);
151         break;
152     case 3:
153         mux0=0x1;
154         mux1=0x1;
155         mux2=0x0;
156         Delay_Us(250);
157         break;
158     case 4:
159         mux0=0x0;
160         mux1=0x0;
161         mux2=0x1;
162         Delay_Us(250);
163         break;
164     case 5:
165         mux0=0x1;
166         mux1=0x0;
167         mux2=0x1;
168         Delay_Us(250);
169         break;
170     default:
171         break;
172 }
173 return;
174 }
175 /****** * RUTINA PRINCIPAL * *****/
176 int main(void)
177 {
178     char ucText[80];
179     ConfigIO(); // Configurar puertos de entrada y salida
180     UARTConfig(); // Configurar UART para la comunicación
181     Init_SPI(); // Configurar interfaz SPI para
182         comunicación con el DAC
183     AnalogConfig(); // Initialize the A/D converter
184     cambiar_puentes(0);
185     putsUART1((unsigned int*)"Sensor de Fuerza de 6 GDL\r\n");
186     while(BusyUART1()); // Wait until the character is
187         transmitted
188     putsUART1((unsigned int*)"-----\r\n");
189     while(BusyUART1()); // Wait until the character is
190         transmitted
191     escribir_SPI(4095); // Enviar valor más alto a DAC para evitar
192         daño del puerto del ADC
193     Delay_Us(100); // Esperar para propagación de la señal
194     while(1){ // Infinite loop
195         while(!DataRdyUART1()); // Wait until a character is received
196         uiCharacter = ReadUART1(); // Read the received character
197         switch (uiCharacter){
198             case 'a': //Ajustar ceros
199                 putsUART1((unsigned int*)"Ajustando ceros, por favor espera
200                     ... \r\n");

```

```

196     while (BusyUART1());           // Wait until the character is
197         transmitted
198     ajustar_ceros();
199     uiCharacter='n';
200     break;
201 case 'c': //Medición continua de los puentes
202     //while(1){
203     medir_puentes();
204     sprintf (ucText, "I %04d %04d %04d %04d %04d %04dF\r\n", valor_puente
205         [0], valor_puente [1], valor_puente [2], valor_puente [3],
206         valor_puente [4], valor_puente [5]);
207     putsUART1(( unsigned int *) ucText);
208     while (BusyUART1());
209         uiCharacter='n';
210     break;
211 case 's': //Empieza Rutina de Calibración (Recolección de Datos
212     )
213     rutina_calibracion();
214     uiCharacter='n';
215     break;
216 case '0': //Medir puente 0
217     escribir_SPI(valor_DAC[0]);
218     cambiar_puentes(0);
219     Delay_Us(100); //60ns de propagación de las señales del multiplexor
220     valor[0]= AcquireAnalog();
221     sprintf(ucText, "\r\nValor Puente 0: %04d\r\n", valor[0]);
222     putsUART1(( unsigned int *) ucText);
223     while (BusyUART1());
224     uiCharacter='n';
225     break;
226 case '1': //Medir puente 1
227     escribir_SPI(valor_DAC[1]);
228     cambiar_puentes(1);
229     Delay_Us(100); //60ns de propagación de las señales del
230     multiplexor
231     valor[1]= AcquireAnalog();
232     sprintf(ucText, "\r\nValor Puente 1: %04d\r\n", valor[1]);
233     putsUART1(( unsigned int *) ucText);
234     while (BusyUART1());
235     uiCharacter='n';
236     break;
237 case '2': //Medir puente 2
238     escribir_SPI(valor_DAC[2]);
239     cambiar_puentes(2);
240     Delay_Us(100); //60ns de propagación de las señales del
241     multiplexor
242     valor[2]= AcquireAnalog();
243     sprintf(ucText, "\r\nValor Puente 2: %04d\r\n", valor[2]);
244     putsUART1(( unsigned int *) ucText);
245     while (BusyUART1());
246     uiCharacter='n';
247     break;
248 case '3': //Medir puente 3
249     escribir_SPI(valor_DAC[3]);
250     cambiar_puentes(3);

```

```

245     Delay_Us(100); //60ns de propagación de las señales del
           multiplexor
246     valor [3]= AcquireAnalog ();
247     sprintf(ucText, "\r\nValor Puente 3: %04d\r\n", valor [3]);
248     putsUART1(( unsigned int *)ucText);
249     while(BusyUART1());
250     uiCharacter='n';
251     break;
252     case '4': //Medir puente 4
253         escribir_SPI(valor_DAC [4]);
254         cambiar_puentes (4);
255         Delay_Us(100); //60ns de propagación de las señales del
           multiplexor
256         valor [4]= AcquireAnalog ();
257         sprintf(ucText, "\r\nValor Puente 4: %04d\r\n", valor [4]);
258         putsUART1(( unsigned int *)ucText);
259         while(BusyUART1());
260         uiCharacter='n';
261         break;
262     case '5': //Medir puente 5
263         escribir_SPI(valor_DAC [5]);
264         cambiar_puentes (5);
265         Delay_Us(100); //60ns de propagación de las señales del
           multiplexor
266         valor [5]= AcquireAnalog ();
267         sprintf(ucText, "\r\nValor Puente 5: %04d\r\n", valor [5]);
268         putsUART1(( unsigned int *)ucText);
269         while(BusyUART1());
270         uiCharacter='n';
271         break;
272     default :
273         uiCharacter='n';
274         break;
275     }
276 }
277 return 0;
278 }//fin main
279
280 /***** * SUBROUTINES * *****/
281 /***** * LECTURA CONTINUADA DEL SENSOR * *****/
282 void medir_puentes (void)
283 {
284     short int i;
285     for (i=0;i<6;i++){
286         escribir_SPI(valor_DAC [i]);
287         cambiar_puentes (i);
288         valor_puente [i]=AcquireAnalog ();
289     }
290 }
291 /***** * AJUSTAR CEROS * *****/
292 void ajustar_ceros (void){
293     short int k;
294     char ucLectura [80];
295     sprintf(ucLectura, "\r\n
           Puente      Valor_DAC
           Valor_puente\r\n");
296     putsUART1(( unsigned int *)ucLectura);

```

```

297     while (BusyUART1());
298     for (k=0;k<6;k++){
299         cambiar_puentes(k);
300         sprintf(ucLectura,"Ajuste del puente: %01d  -->  ", k);
301         putsUART1((unsigned int*)ucLectura);
302         while (BusyUART1());
303
304         valor_DAC[k]=4095;
305     again:   escribir_SPI(valor_DAC[k]);
306         Delay_Us(130);
307         valor_puente[k]=AcquireAnalog();
308
309         if (valor_puente[k]<=2048){
310             valor_DAC[k]=(valor_DAC[k])+1;
311             goto again;
312         }else if (valor_puente[k]>=2050){
313             valor_DAC[k]=(valor_DAC[k])-1;
314             goto again;
315         }
316
317         sprintf(ucLectura,"%04d  --> %04d\r\n", valor_DAC[k],
318             valor_puente[k]);
319         putsUART1((unsigned int*)ucLectura);
320         while (BusyUART1());
321     }
322
323     return;
324 }
325 /***** * RUTINA PARA REALIZAR LA CALIBRACIÓN * *****/
326 void rutina_calibracion(){
327     char ucLectura[80];
328     int samples, i;
329     samples=36;
330
331     //Empieza a tomar datos con el eje X
332     sprintf(ucLectura,"Estos datos son respecto al eje X, oprima una tecla
333         para continuar\r\n");
334     putsUART1((unsigned int*)ucLectura);
335     while (BusyUART1());
336     while (!DataRdyUART1()); // Wait until a character is received
337     uiCharacter = ReadUART1(); // Read the received character
338
339     for (i=0;i<samples;i++){
340         medir_puentes();
341         sprintf(ucLectura,"0 0 0 0 0 0 %04d %04d %04d %04d %04d %04d;\r\n",
342             valor_puente[0], valor_puente[1], valor_puente[2], valor_puente
343             [3], valor_puente[4], valor_puente[5]);
344         putsUART1((unsigned int*)ucLectura);
345         while (BusyUART1());
346     }
347
348     sprintf(ucLectura,"Estos datos son respecto al eje +X, oprima una tecla
349         para continuar\r\n");
350     putsUART1((unsigned int*)ucLectura);
351     while (BusyUART1());

```

```

348 while (!DataRdyUART1()); // Wait until a character is received
349 uiCharacter = ReadUART1(); // Read the received character
350
351 for (i=0;i<samples;i++){
352     medir_puentes();
353     sprintf(ucLectura,"2 0 0 0 0 0 %04d %04d %04d %04d %04d %04d;\r\n",
354             valor_puente[0], valor_puente[1], valor_puente[2], valor_puente
355             [3], valor_puente[4], valor_puente[5]);
356     putsUART1((unsigned int*)ucLectura);
357     while(BusyUART1());
358 }
359
360 sprintf(ucLectura,"Estos datos son respecto al eje +X, oprima una tecla
361 para continuar\r\n");
362 putsUART1((unsigned int*)ucLectura);
363 while(BusyUART1());
364 while (!DataRdyUART1()); // Wait until a character is received
365 uiCharacter = ReadUART1(); // Read the received character
366
367 for (i=0;i<samples;i++){
368     medir_puentes();
369     sprintf(ucLectura,"5 0 0 0 0 0 %04d %04d %04d %04d %04d %04d;\r\n",
370             valor_puente[0], valor_puente[1], valor_puente[2], valor_puente
371             [3], valor_puente[4], valor_puente[5]);
372     putsUART1((unsigned int*)ucLectura);
373     while(BusyUART1());
374 }
375
376 sprintf(ucLectura,"Estos datos son respecto al eje +X, oprima una tecla
377 para continuar\r\n");
378 putsUART1((unsigned int*)ucLectura);
379 while(BusyUART1());
380 while (!DataRdyUART1()); // Wait until a character is received
381 uiCharacter = ReadUART1(); // Read the received character
382
383 for (i=0;i<samples;i++){
384     medir_puentes();
385     sprintf(ucLectura,"10 0 0 0 0 0 %04d %04d %04d %04d %04d %04d;\r\n",
386             valor_puente[0], valor_puente[1], valor_puente[2], valor_puente
387             [3], valor_puente[4], valor_puente[5]);
388     putsUART1((unsigned int*)ucLectura);
389     while(BusyUART1());
390 }
391
392 sprintf(ucLectura,"Estos datos son respecto al eje +Y, oprima una tecla
393 para continuar\r\n");
394 putsUART1((unsigned int*)ucLectura);
395 while(BusyUART1());
396 while (!DataRdyUART1()); // Wait until a character is received
397 uiCharacter = ReadUART1(); // Read the received character
398
399 for (i=0;i<samples;i++){
400     medir_puentes();
401     sprintf(ucLectura,"0 2 0 0 0 0 %04d %04d %04d %04d %04d %04d;\r\n",
402             valor_puente[0], valor_puente[1], valor_puente[2], valor_puente
403             [3], valor_puente[4], valor_puente[5]);

```

```

393     putsUART1(( unsigned int *) ucLectura);
394     while (BusyUART1());
395 }
396
397 sprintf(ucLectura, "Estos datos son respecto al eje +Y, oprima una tecla
    para continuar\r\n");
398 putsUART1(( unsigned int *) ucLectura);
399 while (BusyUART1());
400 while (!DataRdyUART1()); // Wait until a character is received
401 uiCharacter = ReadUART1(); // Read the received character
402
403 for (i=0;i<samples;i++){
404     medir_puentes();
405     sprintf(ucLectura, "0 5 0 0 0 0 %04d %04d %04d %04d %04d %04d;\r\n",
        valor_puente [0], valor_puente [1], valor_puente [2], valor_puente
        [3], valor_puente [4], valor_puente [5]);
406     putsUART1(( unsigned int *) ucLectura);
407     while (BusyUART1());
408 }
409
410 sprintf(ucLectura, "Estos datos son respecto al eje +Y, oprima una tecla
    para continuar\r\n");
411 putsUART1(( unsigned int *) ucLectura);
412 while (BusyUART1());
413 while (!DataRdyUART1()); // Wait until a character is received
414 uiCharacter = ReadUART1(); // Read the received character
415
416 for (i=0;i<samples;i++){
417     medir_puentes();
418     sprintf(ucLectura, "0 10 0 0 0 0 %04d %04d %04d %04d %04d %04d;\r\n",
        valor_puente [0], valor_puente [1], valor_puente [2], valor_puente
        [3], valor_puente [4], valor_puente [5]);
419     putsUART1(( unsigned int *) ucLectura);
420     while (BusyUART1());
421 }
422
423 sprintf(ucLectura, "Estos datos son respecto al eje +Z, oprima una tecla
    para continuar\r\n");
424 putsUART1(( unsigned int *) ucLectura);
425 while (BusyUART1());
426 while (!DataRdyUART1()); // Wait until a character is received
427 uiCharacter = ReadUART1(); // Read the received character
428
429 for (i=0;i<samples;i++){
430     medir_puentes();
431     sprintf(ucLectura, "0 0 2 0 0 0 %04d %04d %04d %04d %04d %04d;\r\n",
        valor_puente [0], valor_puente [1], valor_puente [2], valor_puente
        [3], valor_puente [4], valor_puente [5]);
432     putsUART1(( unsigned int *) ucLectura);
433     while (BusyUART1());
434 }
435
436 sprintf(ucLectura, "Estos datos son respecto al eje +Z, oprima una tecla
    para continuar\r\n");
437 putsUART1(( unsigned int *) ucLectura);
438 while (BusyUART1());

```

```

439 while (!DataRdyUART1()); // Wait until a character is received
440 uiCharacter = ReadUART1(); // Read the received character
441
442 for (i=0;i<samples;i++){
443     medir_puentes();
444     sprintf(ucLectura,"0 0 5 0 0 0 %04d %04d %04d %04d %04d %04d;\r\n",
445             valor_puente[0], valor_puente[1], valor_puente[2], valor_puente
446             [3], valor_puente[4], valor_puente[5]);
447     putsUART1((unsigned int*)ucLectura);
448     while(BusyUART1());
449 }
450
451 sprintf(ucLectura,"Estos datos son respecto al eje +Z, oprima una tecla
452 para continuar\r\n");
453 putsUART1((unsigned int*)ucLectura);
454 while(BusyUART1());
455 while (!DataRdyUART1()); // Wait until a character is received
456 uiCharacter = ReadUART1(); // Read the received character
457
458 for (i=0;i<samples;i++){
459     medir_puentes();
460     sprintf(ucLectura,"0 0 10 0 0 0 %04d %04d %04d %04d %04d %04d;\r\n",
461             valor_puente[0], valor_puente[1], valor_puente[2], valor_puente
462             [3], valor_puente[4], valor_puente[5]);
463     putsUART1((unsigned int*)ucLectura);
464     while(BusyUART1());
465 }
466
467 //***** VALORES NEGATIVOS *****/
468
469 sprintf(ucLectura,"Estos datos son respecto al eje -X, oprima una tecla
470 para continuar\r\n");
471 putsUART1((unsigned int*)ucLectura);
472 while(BusyUART1());
473 /while (!DataRdyUART1()); // Wait until a character is received
474 uiCharacter = ReadUART1(); // Read the received character
475
476 for (i=0;i<samples;i++){
477     medir_puentes();
478     sprintf(ucLectura,"-2 0 0 0 0 0 %04d %04d %04d %04d %04d %04d;\r\n",
479             valor_puente[0], valor_puente[1], valor_puente[2], valor_puente
480             [3], valor_puente[4], valor_puente[5]);
481     putsUART1((unsigned int*)ucLectura);
482     while(BusyUART1());
483 }
484
485 sprintf(ucLectura,"Estos datos son respecto al eje -X, oprima una tecla
486 para continuar\r\n");
487 putsUART1((unsigned int*)ucLectura);
488 while(BusyUART1());
489 while (!DataRdyUART1()); // Wait until a character is received
490 uiCharacter = ReadUART1(); // Read the received character
491
492 for (i=0;i<samples;i++){
493     medir_puentes();

```



```

485     sprintf(ucLectura, "-5 0 0 0 0 0 %04d %04d %04d %04d %04d %04d;\r\n",
        valor_puente[0], valor_puente[1], valor_puente[2], valor_puente
        [3], valor_puente[4], valor_puente[5]);
486     putsUART1((unsigned int*)ucLectura);
487     while(BusyUART1());
488 }
489
490 sprintf(ucLectura, "Estos datos son respecto al eje -X, oprima una tecla
    para continuar\r\n");
491 putsUART1((unsigned int*)ucLectura);
492 while(BusyUART1());
493 while(!DataRdyUART1()); // Wait until a character is received
494 uiCharacter = ReadUART1(); // Read the received character
495
496 for (i=0;i<samples;i++){
497     medir_puentes();
498     sprintf(ucLectura, "-10 0 0 0 0 0 %04d %04d %04d %04d %04d %04d;\r\n"
        , valor_puente[0], valor_puente[1], valor_puente[2],
        valor_puente[3], valor_puente[4], valor_puente[5]);
499     putsUART1((unsigned int*)ucLectura);
500     while(BusyUART1());
501 }
502
503 sprintf(ucLectura, "Estos datos son respecto al eje -Y, oprima una tecla
    para continuar\r\n");
504 putsUART1((unsigned int*)ucLectura);
505 while(BusyUART1());
506 while(!DataRdyUART1()); // Wait until a character is received
507 uiCharacter = ReadUART1(); // Read the received character
508
509 for (i=0;i<samples;i++){
510     medir_puentes();
511     sprintf(ucLectura, "0 -2 0 0 0 0 %04d %04d %04d %04d %04d %04d;\r\n",
        valor_puente[0], valor_puente[1], valor_puente[2], valor_puente
        [3], valor_puente[4], valor_puente[5]);
512     putsUART1((unsigned int*)ucLectura);
513     while(BusyUART1());
514 }
515
516 sprintf(ucLectura, "Estos datos son respecto al eje -Y, oprima una tecla
    para continuar\r\n");
517 putsUART1((unsigned int*)ucLectura);
518 while(BusyUART1());
519 while(!DataRdyUART1()); // Wait until a character is received
520 uiCharacter = ReadUART1(); // Read the received character
521
522 for (i=0;i<samples;i++){
523     medir_puentes();
524     sprintf(ucLectura, "0 -5 0 0 0 0 %04d %04d %04d %04d %04d %04d;\r\n",
        valor_puente[0], valor_puente[1], valor_puente[2], valor_puente
        [3], valor_puente[4], valor_puente[5]);
525     putsUART1((unsigned int*)ucLectura);
526     while(BusyUART1());
527 }
528

```

```

529 sprintf(ucLectura,"Estos datos son respecto al eje -Y, oprima una tecla
    para continuar\r\n");
530 putsUART1((unsigned int*)ucLectura);
531 while(BusyUART1());
532 while(!DataRdyUART1()); // Wait until a character is received
533 uiCharacter = ReadUART1(); // Read the received character
534
535 for (i=0;i<samples;i++){
536     medir_puentes();
537     sprintf(ucLectura,"0 -10 0 0 0 0 %04d %04d %04d %04d %04d %04d;\r\n",
        , valor_puente[0], valor_puente[1], valor_puente[2],
        valor_puente[3], valor_puente[4], valor_puente[5]);
538     putsUART1((unsigned int*)ucLectura);
539     while(BusyUART1());
540 }
541
542 sprintf(ucLectura,"Estos datos son respecto al eje -Z, oprima una tecla
    para continuar\r\n");
543 putsUART1((unsigned int*)ucLectura);
544 while(BusyUART1());
545 while(!DataRdyUART1()); // Wait until a character is received
546 uiCharacter = ReadUART1(); // Read the received character
547
548 for (i=0;i<samples;i++){
549     medir_puentes();
550     sprintf(ucLectura,"0 0 -2 0 0 0 %04d %04d %04d %04d %04d %04d;\r\n",
        valor_puente[0], valor_puente[1], valor_puente[2], valor_puente
        [3], valor_puente[4], valor_puente[5]);
551     putsUART1((unsigned int*)ucLectura);
552     while(BusyUART1());
553 }
554
555 sprintf(ucLectura,"Estos datos son respecto al eje -Z, oprima una tecla
    para continuar\r\n");
556 putsUART1((unsigned int*)ucLectura);
557 while(BusyUART1());
558 while(!DataRdyUART1()); // Wait until a character is received
559 uiCharacter = ReadUART1(); // Read the received character
560
561 for (i=0;i<samples;i++){
562     medir_puentes();
563     sprintf(ucLectura,"0 0 -5 0 0 0 %04d %04d %04d %04d %04d %04d;\r\n",
        valor_puente[0], valor_puente[1], valor_puente[2], valor_puente
        [3], valor_puente[4], valor_puente[5]);
564     putsUART1((unsigned int*)ucLectura);
565     while(BusyUART1());
566 }
567
568 sprintf(ucLectura,"Estos datos son respecto al eje -Z, oprima una tecla
    para continuar\r\n");
569 putsUART1((unsigned int*)ucLectura);
570 while(BusyUART1());
571 while(!DataRdyUART1()); // Wait until a character is received
572 uiCharacter = ReadUART1(); // Read the received character
573
574 for (i=0;i<samples;i++){

```

```

575     medir_puentes();
576     sprintf(ucLectura,"0 0 -10 0 0 0 %04d %04d %04d %04d %04d %04d;\r\n"
           , valor_puente[0], valor_puente[1], valor_puente[2],
           valor_puente[3], valor_puente[4], valor_puente[5]);
577     putsUART1((unsigned int*)ucLectura);
578     while(BusyUART1());
579 }
580
581 /***** * PARES * *****/
582
583 sprintf(ucLectura,"Estos datos son respecto al eje X, oprima una tecla
           para continuar\r\n");
584 putsUART1((unsigned int*)ucLectura);
585 while(BusyUART1());
586 while(!DataRdyUART1()); // Wait until a character is received
587 uiCharacter = ReadUART1(); // Read the received character
588
589 for (i=0;i<samples;i++){
590     medir_puentes();
591     sprintf(ucLectura,"0 0 0 0.26 0 0 %04d %04d %04d %04d %04d %04d;\r\n"
           , valor_puente[0], valor_puente[1], valor_puente[2],
           valor_puente[3], valor_puente[4], valor_puente[5]);
592     putsUART1((unsigned int*)ucLectura);
593     while(BusyUART1());
594 }
595
596 sprintf(ucLectura,"Estos datos son respecto al eje X, oprima una tecla
           para continuar\r\n");
597 putsUART1((unsigned int*)ucLectura);
598 while(BusyUART1());
599 while(!DataRdyUART1()); // Wait until a character is received
600 uiCharacter = ReadUART1(); // Read the received character
601
602 for (i=0;i<samples;i++){
603     medir_puentes();
604     sprintf(ucLectura,"0 0 0 0.65 0 0 %04d %04d %04d %04d %04d %04d;\r\n"
           , valor_puente[0], valor_puente[1], valor_puente[2],
           valor_puente[3], valor_puente[4], valor_puente[5]);
605     putsUART1((unsigned int*)ucLectura);
606     while(BusyUART1());
607 }
608
609 sprintf(ucLectura,"Estos datos son respecto al eje X, oprima una tecla
           para continuar\r\n");
610 putsUART1((unsigned int*)ucLectura);
611 while(BusyUART1());
612 while(!DataRdyUART1()); // Wait until a character is received
613 uiCharacter = ReadUART1(); // Read the received character
614
615 for (i=0;i<samples;i++){
616     medir_puentes();
617     sprintf(ucLectura,"0 0 0 1.3 0 0 %04d %04d %04d %04d %04d %04d;\r\n"
           , valor_puente[0], valor_puente[1], valor_puente[2],
           valor_puente[3], valor_puente[4], valor_puente[5]);
618     putsUART1((unsigned int*)ucLectura);
619     while(BusyUART1());

```

```

620 }
621
622 sprintf(ucLectura,"Estos datos son respecto al eje Y, oprima una tecla
    para continuar\r\n");
623 putsUART1((unsigned int*)ucLectura);
624 while(BusyUART1());
625 while(!DataRdyUART1()); // Wait until a character is received
626 uiCharacter = ReadUART1(); // Read the received character
627
628 for (i=0;i<samples;i++){
629     medir_puentes();
630     sprintf(ucLectura,"0 0 0 0 0.26 0 %04d %04d %04d %04d %04d %04d;\r\n"
        ", valor_puente [0], valor_puente [1], valor_puente [2],
        valor_puente [3], valor_puente [4], valor_puente [5]);
631     putsUART1((unsigned int*)ucLectura);
632     while(BusyUART1());
633 }
634
635 sprintf(ucLectura,"Estos datos son respecto al eje Y, oprima una tecla
    para continuar\r\n");
636 putsUART1((unsigned int*)ucLectura);
637 while(BusyUART1());
638 while(!DataRdyUART1()); // Wait until a character is received
639 uiCharacter = ReadUART1(); // Read the received character
640
641 for (i=0;i<samples;i++){
642     medir_puentes();
643     sprintf(ucLectura,"0 0 0 0 0.65 0 %04d %04d %04d %04d %04d %04d;\r\n"
        ", valor_puente [0], valor_puente [1], valor_puente [2],
        valor_puente [3], valor_puente [4], valor_puente [5]);
644     putsUART1((unsigned int*)ucLectura);
645     while(BusyUART1());
646 }
647
648 sprintf(ucLectura,"Estos datos son respecto al eje Y, oprima una tecla
    para continuar\r\n");
649 putsUART1((unsigned int*)ucLectura);
650 while(BusyUART1());
651 while(!DataRdyUART1()); // Wait until a character is received
652 uiCharacter = ReadUART1(); // Read the received character
653
654 for (i=0;i<samples;i++){
655     medir_puentes();
656     sprintf(ucLectura,"0 0 0 0 1.3 0 %04d %04d %04d %04d %04d %04d;\r\n"
        ", valor_puente [0], valor_puente [1], valor_puente [2],
        valor_puente [3], valor_puente [4], valor_puente [5]);
657     putsUART1((unsigned int*)ucLectura);
658     while(BusyUART1());
659 }
660
661 sprintf(ucLectura,"Estos datos son respecto al eje Z, oprima una tecla
    para continuar\r\n");
662 putsUART1((unsigned int*)ucLectura);
663 while(BusyUART1());
664 while(!DataRdyUART1()); // Wait until a character is received
665 uiCharacter = ReadUART1(); // Read the received character

```

```

666
667 for (i=0;i<samples;i++){
668     medir_puentes();
669     sprintf(ucLectura,"0 0 0 0 0 0.26 %04d %04d %04d %04d %04d %04d;\r\n
        ", valor_puente[0], valor_puente[1], valor_puente[2],
        valor_puente[3], valor_puente[4], valor_puente[5]);
670     putsUART1((unsigned int*)ucLectura);
671     while(BusyUART1());
672 }
673
674 sprintf(ucLectura,"Estos datos son respecto al eje Z, oprima una tecla
        para continuar\r\n");
675 putsUART1((unsigned int*)ucLectura);
676 while(BusyUART1());
677 while(!DataRdyUART1()); // Wait until a character is received
678 uiCharacter = ReadUART1(); // Read the received character
679
680 for (i=0;i<samples;i++){
681     medir_puentes();
682     sprintf(ucLectura,"0 0 0 0 0 0.65 %04d %04d %04d %04d %04d %04d;\r\n
        ", valor_puente[0], valor_puente[1], valor_puente[2],
        valor_puente[3], valor_puente[4], valor_puente[5]);
683     putsUART1((unsigned int*)ucLectura);
684     while(BusyUART1());
685 }
686
687 sprintf(ucLectura,"Estos datos son respecto al eje Z, oprima una tecla
        para continuar\r\n");
688 putsUART1((unsigned int*)ucLectura);
689 while(BusyUART1());
690 while(!DataRdyUART1()); // Wait until a character is received
691 uiCharacter = ReadUART1(); // Read the received character
692
693 for (i=0;i<samples;i++){
694     medir_puentes();
695     sprintf(ucLectura,"0 0 0 0 0 1.3 %04d %04d %04d %04d %04d %04d;\r\n
        ", valor_puente[0], valor_puente[1], valor_puente[2],
        valor_puente[3], valor_puente[4], valor_puente[5]);
696     putsUART1((unsigned int*)ucLectura);
697     while(BusyUART1());
698 }
699 }

```

7.2. Anexo II. Código fuente Interfaz de Control

```

1 'Imports System
2 'Imports System.ComponentModel
3 'Imports System.Threading
4 Imports System.IO.Ports
5 Public Class Form1
6     Dim recibido1 As String
7     Dim cadena1 As String = "" 'Buffer de recepcion para el sensor
8     Dim recibido2, cadena2 As String 'Buffer de recepcion para el robot

```

```

9 Dim P0, P1, P2, P3, P4, P5 As Integer
10 Dim Fx, Fy, Fz, Mx, My, Mz As Double
11 Dim c_i1, c_f1, c_i2, c_f2, PR1, PR2 As String
12 Dim count1 As Integer = 0
13 Dim count2 As Integer = 0
14 Dim vector_unitario(2) As Integer
15 Dim punto As String
16 Dim v_continuar As Boolean = False
17 Dim punto_inicial() As Integer = {0, 0, 0}
18 Dim punto_intermedio() As Integer = {0, 0, 0}
19 Dim punto_final() As Integer = {0, 0, 0}
20 Dim incremento() As Integer = {0, 0, 0}
21 Dim raiz As Integer
22
23
24
25 Public Sub New()
26     InitializeComponent()
27     ' Abrir puerto mientras se ejecute la aplicación
28     If Not SerialPort1.IsOpen Then
29         Try
30             SerialPort1.Open()
31         Catch ex As System.Exception
32             MessageBox.Show(ex.ToString())
33         End Try
34     End If
35
36     If Not SerialPort2.IsOpen Then
37         Try
38             SerialPort2.Open()
39         Catch ex As System.Exception
40             MessageBox.Show(ex.ToString())
41         End Try
42     End If
43     'Ejecutar la funcion Recepcion por disparo del Evento '
44     DataReceived'
45     AddHandler SerialPort1.DataReceived, AddressOf Recepcion_Sensor
46     AddHandler SerialPort2.DataReceived, AddressOf Recepcion_Robot
47 End Sub
48
49 Private Sub Form1_Load(ByVal sender As Object, ByVal e As System.
50     EventArgs) Handles MyBase.Load
51     'Dim comando As String
52     ' comando = "@SPEED 75" & vbCrLf
53     ' TextRobot.AppendText(comando)
54     ' SerialPort2.WriteLine(comando)
55 End Sub
56
57 'Al recibir los datos
58 Private Sub Recepcion_Sensor(ByVal sender As Object, ByVal e As
59     System.IO.Ports.SerialDataReceivedEventArgs)
60     'acumular los caracteres recibidos a nuestro 'buffer' (string)
61     recibido1 = SerialPort1.ReadExisting()
62     'Invocar o llamar al proceso de tramas
63     Me.Invoke(New EventHandler(AddressOf Actualizar_sensor))

```

```

62
63 End Sub
64 'Al recibir los datos
65 Private Sub Recepcion_Robot(ByVal sender As Object, ByVal e As
        System.IO.Ports.SerialDataReceivedEventArgs)
66     'acumular los caracteres recibidos a nuestro 'buffer' (string)
67     recibido2 = SerialPort2.ReadExisting()
68     'Invocar o llamar al proceso de tramas
69     Me.Invoke(New EventHandler(AddressOf Actualizar_robot))
70 End Sub
71 'Multiplicación con la matriz de calibración
72 Private Sub calculo_componentes()
73     Dim v() As Integer = {P0, P1, P2, P3, P4, P5}
74     Dim C(5, 5) As Double
75     Dim comando As String
76
77     C(0, 0) = 0.017523
78     C(0, 1) = -0.0085859
79     C(0, 2) = 0.013899
80     C(0, 3) = -0.092781
81     C(0, 4) = 0.014349
82     C(0, 5) = 0.055502
83     C(1, 0) = -0.0095379
84     C(1, 1) = -0.087047
85     C(1, 2) = -0.0031638
86     C(1, 3) = 0.044903
87     C(1, 4) = 0.0030096
88     C(1, 5) = 0.051863
89     C(2, 0) = 0.0051326
90     C(2, 1) = -0.0028747
91     C(2, 2) = 0.0035497
92     C(2, 3) = -0.0096412
93     C(2, 4) = 0.0027653
94     C(2, 5) = 0.0010382
95     C(3, 0) = -0.00029734
96     C(3, 1) = -0.00012312
97     C(3, 2) = 0.0034434
98     C(3, 3) = -0.000059579
99     C(3, 4) = -0.0030458
100    C(3, 5) = 0.000083483
101    C(4, 0) = 0.0049575
102    C(4, 1) = -0.00099358
103    C(4, 2) = -0.0012309
104    C(4, 3) = -0.00034941
105    C(4, 4) = -0.0017448
106    C(4, 5) = -0.00064051
107    C(5, 0) = 0.0019018
108    C(5, 1) = -0.0021176
109    C(5, 2) = 0.0018629
110    C(5, 3) = -0.0012504
111    C(5, 4) = 0.0017143
112    C(5, 5) = -0.0021319
113
114    Fx = (C(0, 0) * v(0) + C(0, 1) * v(1) + C(0, 2) * v(2) + C(0,
        3) * v(3) + C(0, 4) * v(4) + C(0, 5) * v(5))

```

```

115   Fy = (C(1, 0) * v(0) + C(1, 1) * v(1) + C(1, 2) * v(2) + C(1,
116       3) * v(3) + C(1, 4) * v(4) + C(1, 5) * v(5))
117   Fz = (C(2, 0) * v(0) + C(2, 1) * v(1) + C(2, 2) * v(3) + C(2,
118       3) * v(3) + C(2, 4) * v(4) + C(2, 5) * v(5))
119   Mx = (C(3, 0) * v(0) + C(3, 1) * v(1) + C(3, 2) * v(3) + C(3,
120       3) * v(3) + C(3, 4) * v(4) + C(3, 5) * v(5))
121   May = (C(4, 0) * v(0) + C(4, 1) * v(1) + C(4, 2) * v(4) + C(4,
122       3) * v(3) + C(4, 4) * v(4) + C(4, 5) * v(5))
123   Mz = (C(5, 0) * v(0) + C(5, 1) * v(1) + C(5, 2) * v(5) + C(5,
124       3) * v(3) + C(5, 4) * v(4) + C(5, 5) * v(5))
125
126   Label10.Text = Fx
127   Label11.Text = Fy
128   Label12.Text = Fz
129
130   Label28.Text = Mx
131   Label29.Text = May
132   Label30.Text = Mz
133
134   If ((Fx > 0) And (Fx <= 50)) Then
135       Fx_pos.Value = Fix(Fx) * 2
136       Fx_neg.Value = 0
137   End If
138   If ((Fx < 0) And (Fx >= -50)) Then
139       Fx_neg.Value = Fx * -2
140       Fx_pos.Value = 0
141   End If
142   If Fx = 0 Then
143       Fx_pos.Value = 0
144       Fx_neg.Value = 0
145   End If
146   If Fx > 50 Then
147       Fx_pos.Value = 100
148   End If
149   If Fx < -50 Then
150       Fx_pos.Value = 100
151   End If
152   '*****
153   If ((Fy > 0) And (Fy <= 50)) Then
154       Fy_pos.Value = Fy * 2
155       Fy_neg.Value = 0
156   End If
157   If ((Fy < 0) And (Fy >= -50)) Then
158       Fy_neg.Value = Fy * -2
159       Fy_pos.Value = 0
160   End If
161   If Fy = 0 Then
162       Fy_pos.Value = 0
163       Fy_neg.Value = 0
164   End If
165   If Fy > 50 Then
166       Fy_pos.Value = 100
167   End If
168   If Fy < -100 Then
169       Fy_pos.Value = 100

```



```

166     End If
167     '*****
168     If ((Fz > 0) And (Fz <= 50)) Then
169         Fz_pos.Value = Fz * 2
170         Fz_neg.Value = 0
171     End If
172     If ((Fz < 0) And (Fz >= -50)) Then
173         Fz_neg.Value = Fz * -2
174         Fz_pos.Value = 0
175     End If
176     If Fz = 0 Then
177         Fz_pos.Value = 0
178         Fz_neg.Value = 0
179     End If
180     If Fz > 50 Then
181         Fz_pos.Value = 100
182     End If
183     If Fz < -50 Then
184         Fz_pos.Value = 100
185     End If
186     '*****
187     'Mx
188     If ((Mx > 0) And (Mx <= 50)) Then
189         Mx_pos.Value = Mx * 2
190         Mx_neg.Value = 0
191     End If
192     If ((Mx < 0) And (Mx >= -50)) Then
193         Mx_neg.Value = Mx * -2
194         Mx_pos.Value = 0
195     End If
196     If Mx = 0 Then
197         Mx_pos.Value = 0
198         Mx_neg.Value = 0
199     End If
200     If Mx > 50 Then
201         Mx_pos.Value = 100
202     End If
203     If Mx < -50 Then
204         Mx_pos.Value = 100
205     End If
206     '*****
207     'My
208     If ((May > 0) And (May <= 50)) Then
209         My_pos.Value = May * 2
210         My_neg.Value = 0
211     End If
212     If ((May < 0) And (May >= -50)) Then
213         My_neg.Value = May * -2
214         My_pos.Value = 0
215     End If
216     If May = 0 Then
217         My_pos.Value = 0
218         My_neg.Value = 0
219     End If
220     If May > 50 Then
221         My_pos.Value = 100

```

```

222 End If
223 If My_pos < -50 Then
224     My_pos.Value = 100
225 End If
226 '*****
227 'Mz
228 If ((Mz > 0) And (Mz <= 50)) Then
229     Mz_pos.Value = Mz * 2
230     Mz_neg.Value = 0
231 End If
232 If ((Mz < 0) And (Mz >= -50)) Then
233     Mz_neg.Value = Mz * -2
234     Mz_pos.Value = 0
235 End If
236 If Mz = 0 Then
237     Mz_pos.Value = 0
238     Mz_neg.Value = 0
239 End If
240 If Mz > 50 Then
241     Mz_pos.Value = 100
242 End If
243 If Mz < -50 Then
244     Mz_pos.Value = 100
245 End If
246 '*****
247 raiz = Math.Sqrt(Fx ^ 2 + Fy ^ 2 + Fz ^ 2)
248
249 If raiz = 0 Then
250     vector_unitario(0) = 0
251     vector_unitario(1) = 0
252     vector_unitario(2) = 0
253 Else
254     vector_unitario(0) = (Fx / raiz)
255     vector_unitario(1) = (Fy / raiz)
256     vector_unitario(2) = (Fz / raiz)
257 End If
258
259 Label14.Text = vector_unitario(0)
260 Label15.Text = vector_unitario(1)
261 Label17.Text = vector_unitario(2)
262 'calcular el comando y enviarlo al robot
263 'rutina_movimiento()
264 incremento(0) = (vector_unitario(0) * 130 * System.Math.Abs(Fx)
265 )
266 incremento(1) = (vector_unitario(1) * 130 * System.Math.Abs(Fy)
267 )
268 incremento(2) = (vector_unitario(2) * 130 * System.Math.Abs(Fz)
269 )
270
271 punto_final(0) = incremento(0) + punto_inicial(0)
272 punto_final(1) = incremento(1) + punto_inicial(1)
273 punto_final(2) = incremento(2) + punto_inicial(2)
274
275 If punto_final(0) >= 102000 Then
276     punto_final(0) = 102000
277 End If

```

```

275     If punto_final(0) <= -102000 Then
276         punto_final(0) = -102000
277     End If
278
279     If punto_final(1) >= 120000 Then
280         punto_final(1) = 120000
281     End If
282     If punto_final(1) <= -120000 Then
283         punto_final(1) = -120000
284     End If
285
286     If punto_final(2) >= 42000 Then
287         punto_final(2) = 42000
288     End If
289     If punto_final(2) <= 0 Then
290         punto_final(2) = 0
291     End If
292
293     ' PR1 = punto_intermedio(0) & " " & punto_intermedio(1) & " " &
294         punto_intermedio(2) & " 0 0 0"
295     ' comando = "@P0=" & PR1 & vbCrLf
296     ' SerialPort2.WriteLine(comando)
297     ' TextRobot.AppendText(comando)
298     ' WaitSeconds(0.3)
299
300     ' PR2 = punto_final(0) & " " & punto_final(1) & " " &
301         punto_final(2) & " 0 0 0"
302     ' comando = "@P1=" & PR2 & vbCrLf
303     ' SerialPort2.WriteLine(comando)
304     ' TextRobot.AppendText(comando)
305     ' WaitSeconds(0.3)
306
307     comando = "@MOVE P, " & punto_final(0) & " " & punto_final(1) &
308         " " & punto_final(2) & " 0 0 0" & vbCrLf
309     'comando = "@MOVE L,P0,P1" & vbCrLf
310     'SerialPort2.WriteLine(comando)
311     TextRobot.AppendText(comando)
312     'punto_inicial = punto_intermedio
313     ' punto_intermedio = punto_final
314     punto_inicial = punto_final
315
316 End Sub
317 'Procesar los datos recibidos en el buffer y extraer tramas
318 'completas
319 Private Sub Actualizar_sensor(ByVal s As Object, ByVal e As
320     EventArgs)
321     'asignar el valor de la trama al textbox
322     TextSensor.AppendText(recibido1)
323     cadena1 += recibido1
324     count1 = Len(cadena1)
325     If count1 = 28 Then
326         c_i1 = Microsoft.VisualBasic.Left(cadena1, 1)
327         If c_i1 = "I" Then

```

```

326         P0 = Mid(cadena1, 2, 4)
327         Label4.Text = P0
328         P1 = Mid(cadena1, 6, 4)
329         Label5.Text = P1
330         P2 = Mid(cadena1, 10, 4)
331         Label6.Text = P2
332         P3 = Mid(cadena1, 14, 4)
333         Label7.Text = P3
334         P4 = Mid(cadena1, 18, 4)
335         Label8.Text = P4
336         P5 = Mid(cadena1, 22, 4)
337         Label9.Text = P5
338         cadena1 = ""
339         count1 = 0
340     End If
341 End If
342 If count1 > 28 Then
343     cadena1 = ""
344 End If
345 End Sub
346 'Procesar los datos recibidos en el buffer y extraer tramas
completas
347 Private Sub Actualizar_robot(ByVal s As Object, ByVal e As
EventArgs)
348     'asignar el valor de la trama al textbox
349     TextRobot.AppendText(recibido2)
350 End Sub
351
352 Private Sub Ajustar_Click(ByVal sender As System.Object, ByVal e As
System.EventArgs) Handles Ajustar.Click
353     Dim mBuffer As Byte() = New Byte(0) {}
354     mBuffer(0) = Asc("a")
355     SerialPort1.Write(mBuffer, 0, mBuffer.Length)
356 End Sub
357
358 Private Sub Empezar_Click(ByVal sender As System.Object, ByVal e As
System.EventArgs) Handles Empezar.Click
359     Dim mBuffer As Byte() = New Byte(0) {}
360     mBuffer(0) = Asc("c")
361     SerialPort1.Write(mBuffer, 0, mBuffer.Length)
362     WaitSeconds(0.3) 'Espera que se separen los datos en variables
independientes
363     calculo_componentes() 'calculo de componentes y envío al Robot
del comando
364     WaitSeconds(0.3) 'espera a que el robot complete la
instrucción
365
366 While continuo.Checked = True 'si está marcado se queda en el
loop haciendo lo mismo
367     SerialPort1.Write(mBuffer, 0, mBuffer.Length)
368     WaitSeconds(0.3) 'Espera que se separen los datos en
variables independientes
369     calculo_componentes() 'calculo de componentes y envío al
Robot del comando
370     WaitSeconds(0.3) 'espera a que el robot complete la
instrucción

```

```
371     End While
372
373 End Sub
374 Private Sub WaitSeconds(ByVal nSecs As Double)
375     ' Esperar los segundos indicados
376     ' Crear la cadena para convertir en TimeSpan
377     Dim s As String = "0.00:00:" & nSecs.ToString.Replace(",", ".")
378     Dim ts As TimeSpan = TimeSpan.Parse(s)
379     ' Añadirle la diferencia a la hora actual
380     Dim t1 As DateTime = DateTime.Now.Add(ts)
381     ' Esta asignación solo es necesaria
382     ' si la comprobación se hace al principio del bucle
383     Dim t2 As DateTime = DateTime.Now
384     ' Mientras no haya pasado el tiempo indicado
385     Do While t2 < t1
386         ' Un respiro para el sistema
387         System.Windows.Forms.Application.DoEvents()
388         ' Asignar la hora actual
389         t2 = DateTime.Now
390     Loop
391 End Sub
392
393 Private Sub Origen_Click(ByVal sender As System.Object, ByVal e As
394     System.EventArgs) Handles Origen.Click
395     Dim mBuffer As String
396     mBuffer = "@ORIGIN" & vbCrLf
397     TextRobot.AppendText(mBuffer)
398     SerialPort2.WriteLine(mBuffer)
399     punto_inicial(0) = 0
400     punto_inicial(1) = 0
401     punto_inicial(2) = 0
402 End Sub
403
404 End Class
```